

Figura 4.1.1 Campo di onda, direzione del vento 90° Nord, moto ondoso: $h=1$ m, $v=12$ nodi, $t=6$ sec

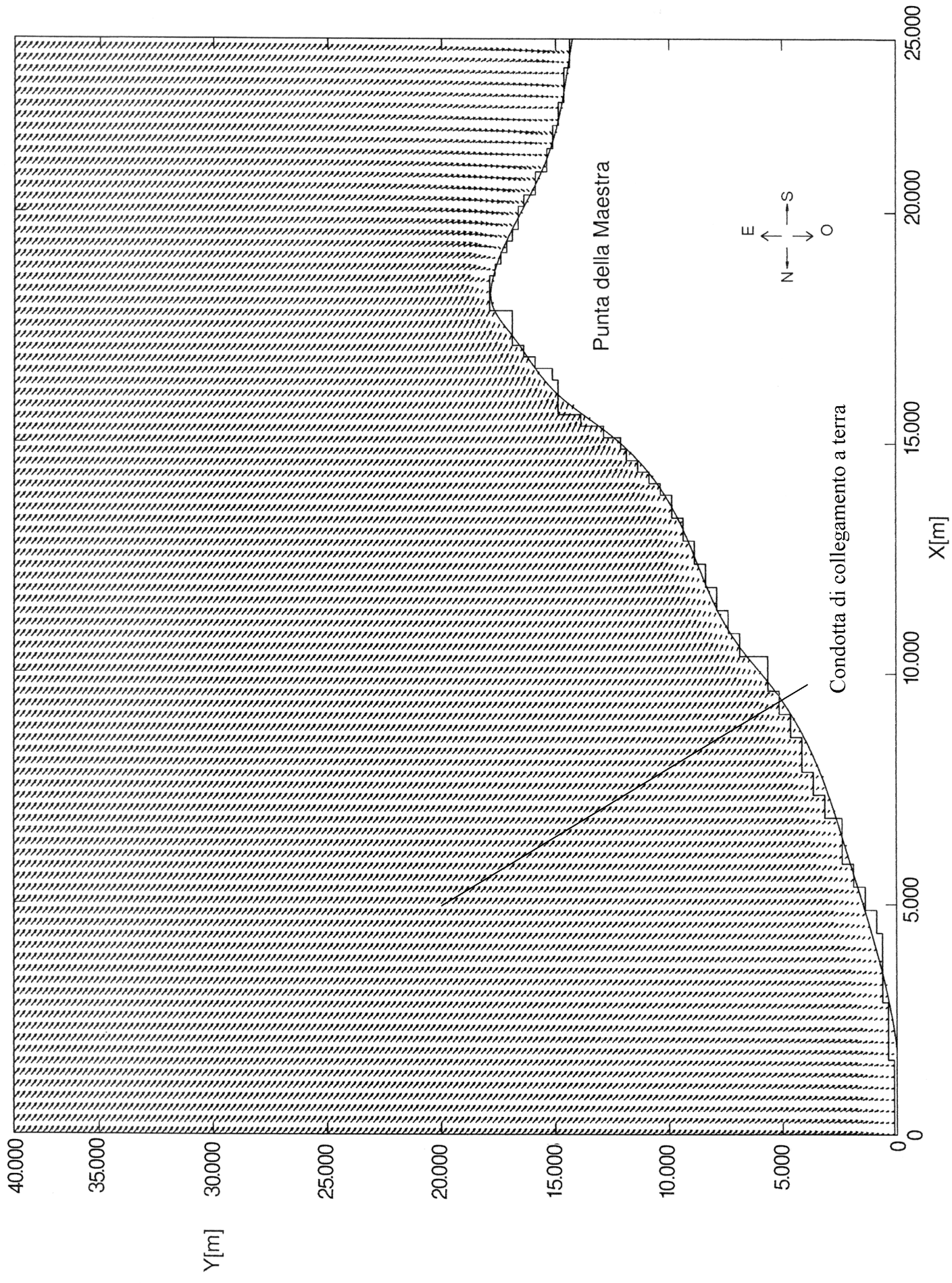


Figura 4.1.2 Campo di onda, direzione del vento 60° Nord, moto ondoso: $h=1.5$ m, $v=20$ nodi, $t=6$ sec

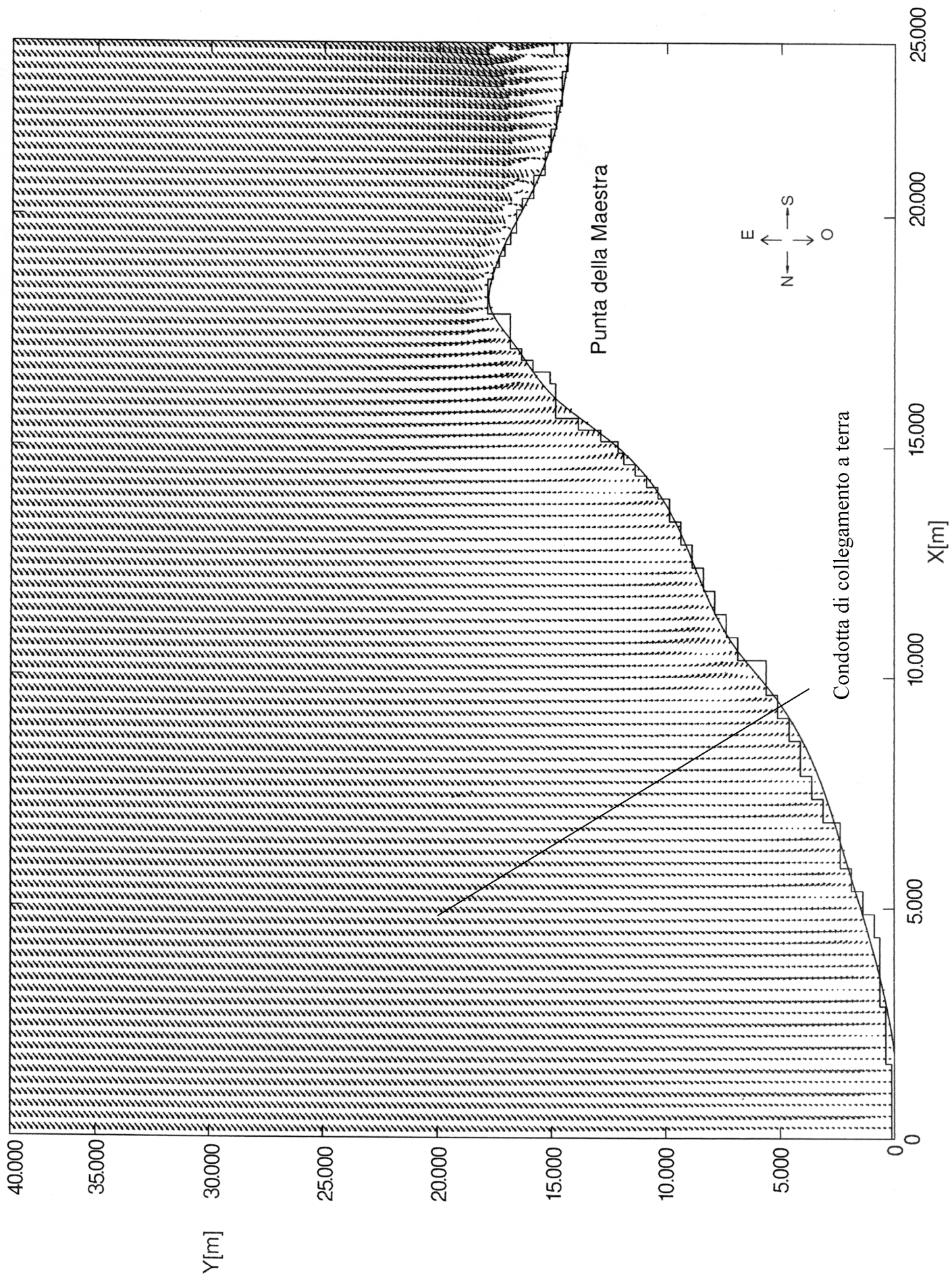


Figura 4.1.3 Campo di onda, direzione del vento 150° Nord, moto ondoso: $h=1.5$ m, $v=16$ nodi, $t=6$ sec

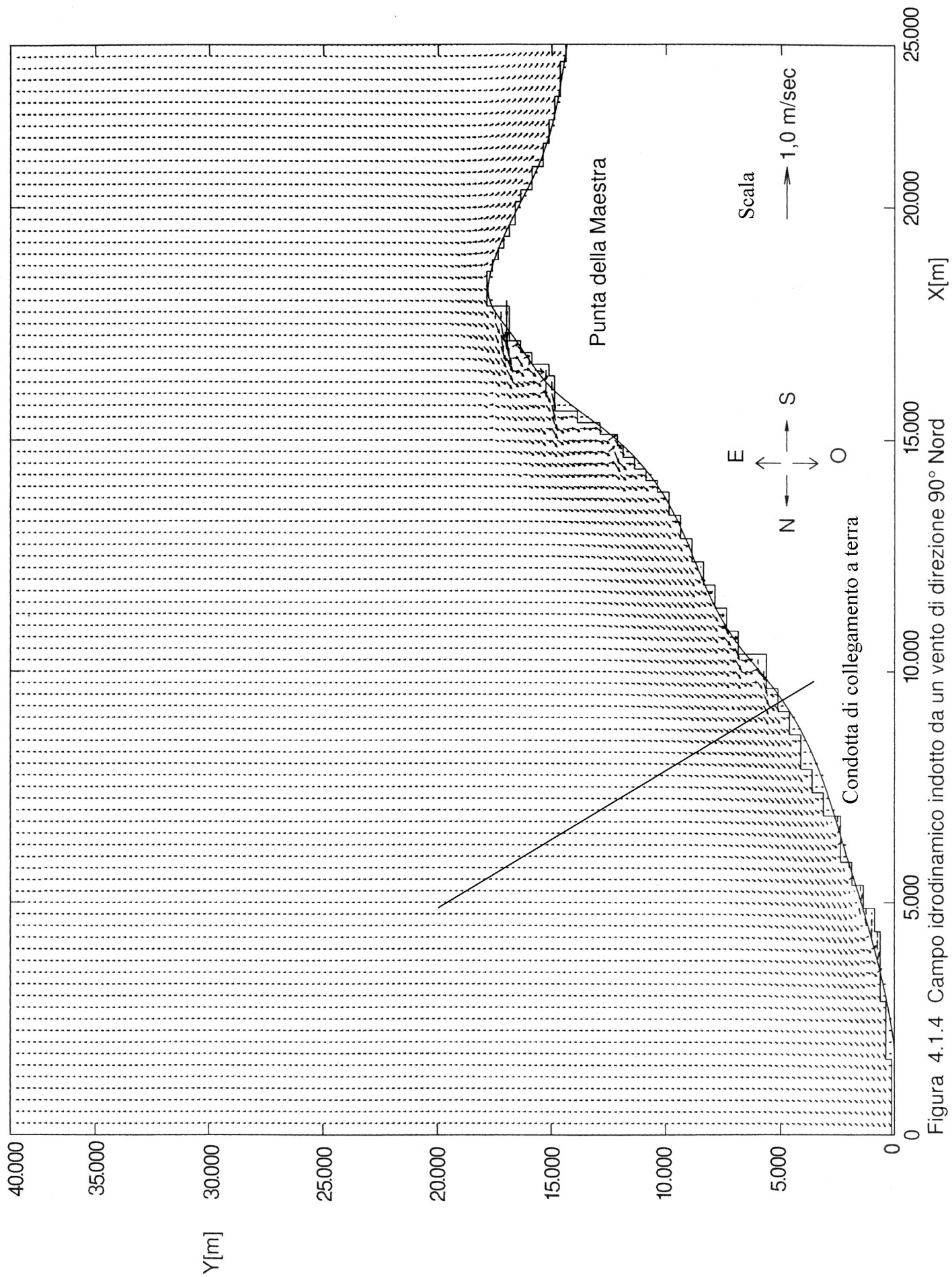


Figura 4.1.4 Campo idrodinamico indotto da un vento di direzione 90° Nord

Moto ondoso: $h=1$ m, $v=12$ nodi, $t=6$ sec

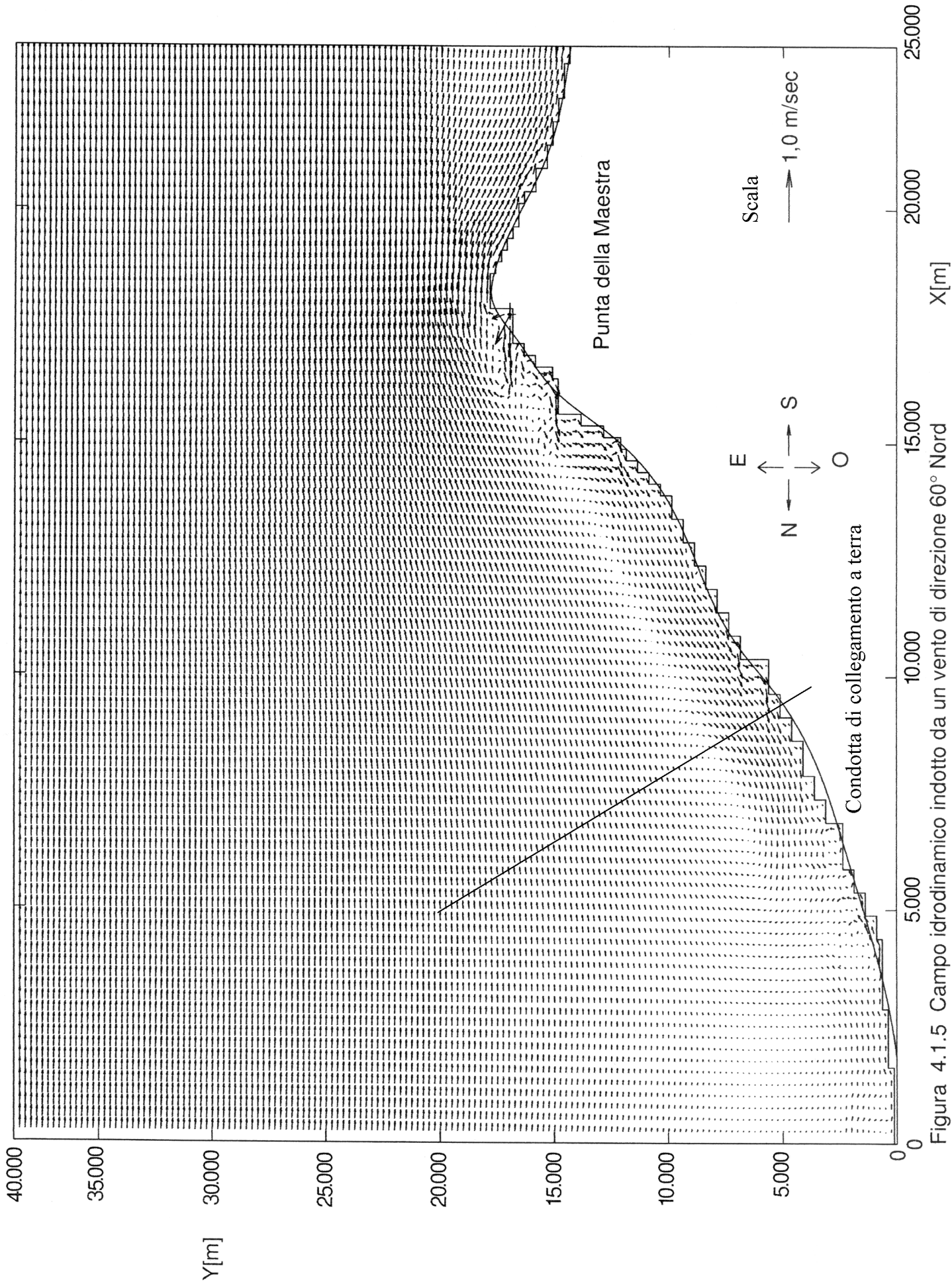


Figura 4.1.5 Campo idrodinamico indotto da un vento di direzione 60° Nord
 Moto ondoso: $h=1.5$ m, $v=20$ nodi, $t=6$ sec

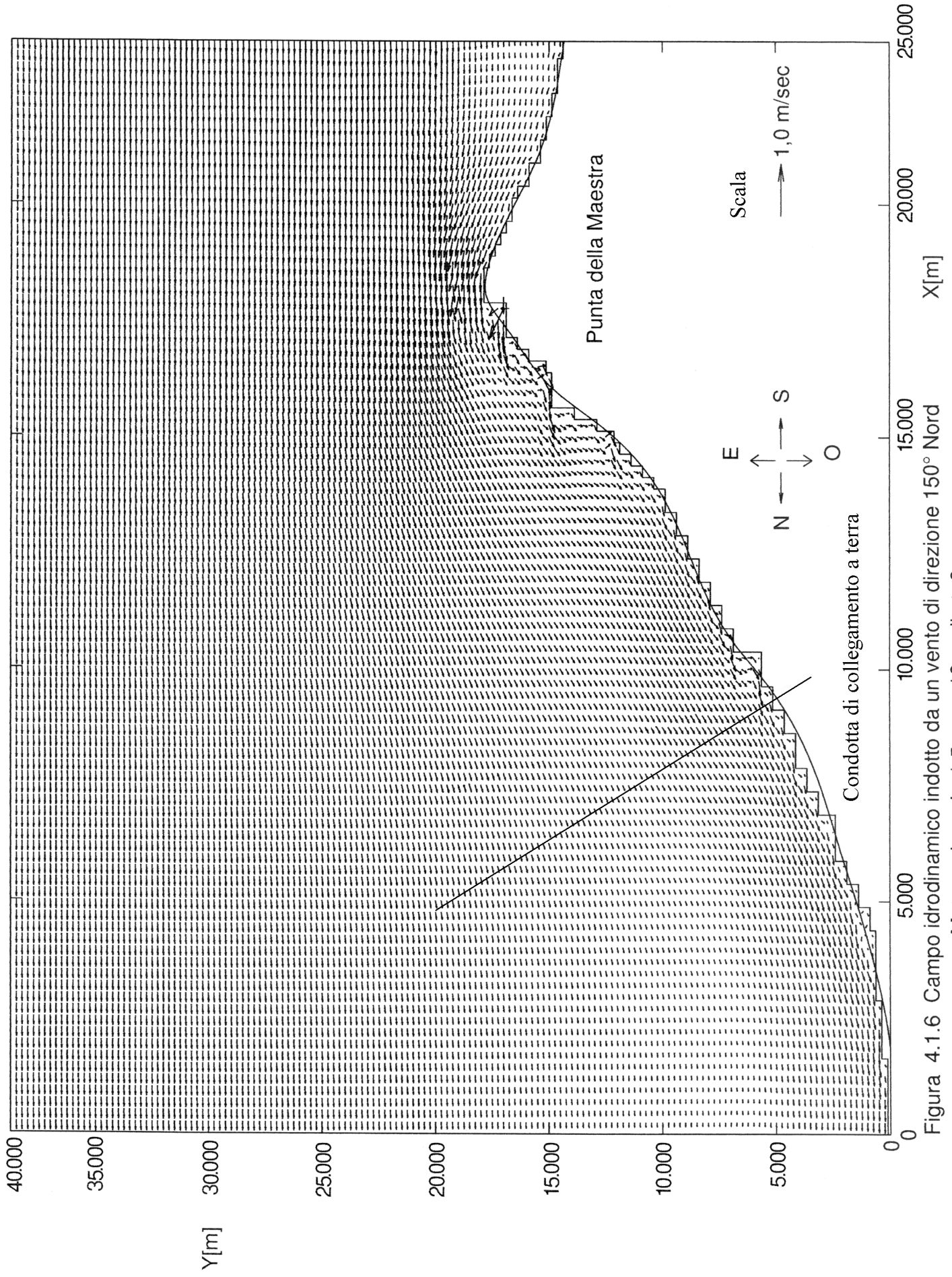


Figura 4.1.6 Campo idrodinamico indotto da un vento di direzione 150° Nord

Moto ondoso: $h=1.5$ m, $v=16$ nodi, $t=6$ sec

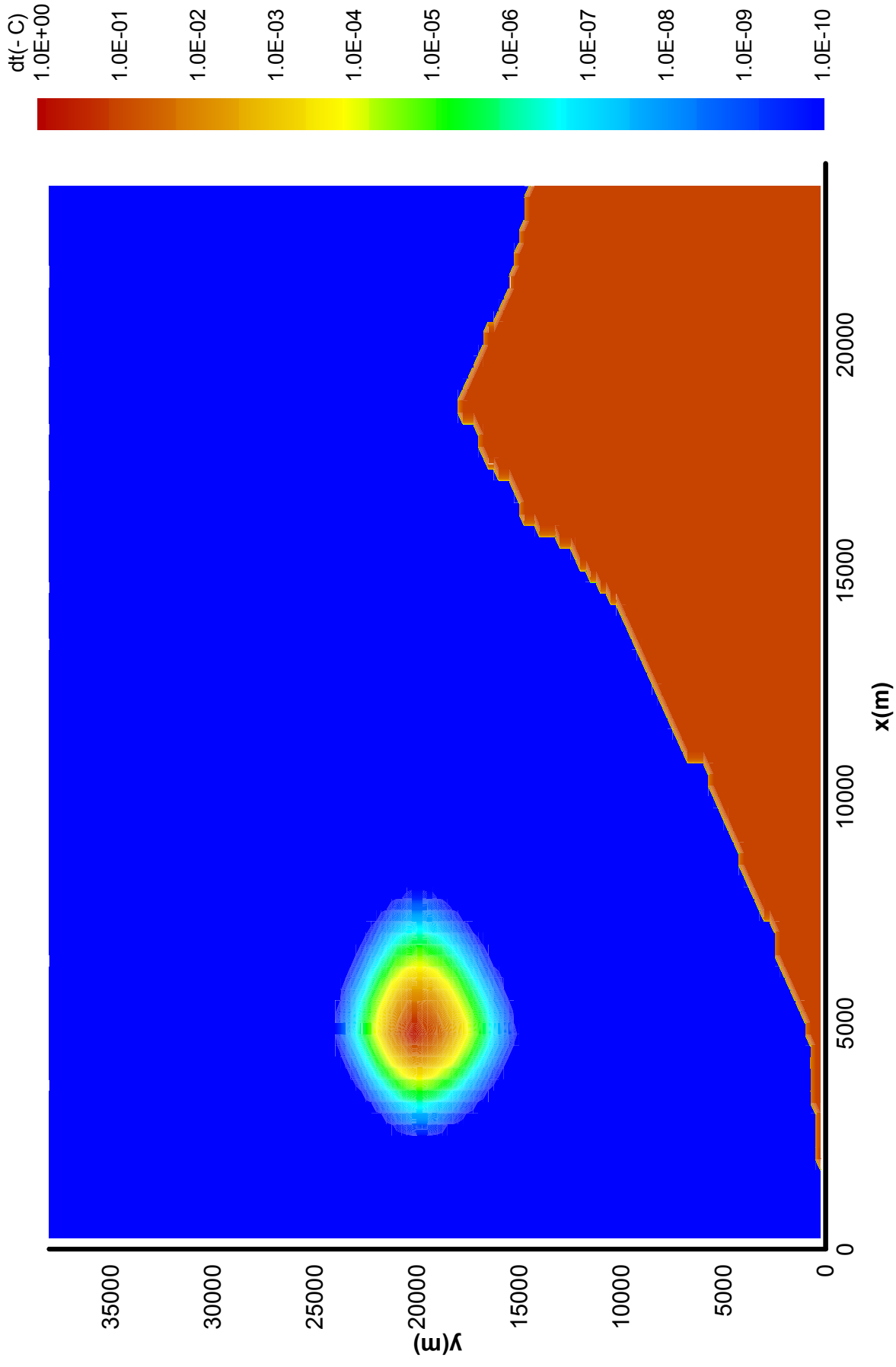


Figura 4.1.7: campo di variazione termica mediato lungo la profondita',
 direzione del vento 90 Nord. $V = 12$ nodi.
 Decremento nella cella di immissione: 0.73 C

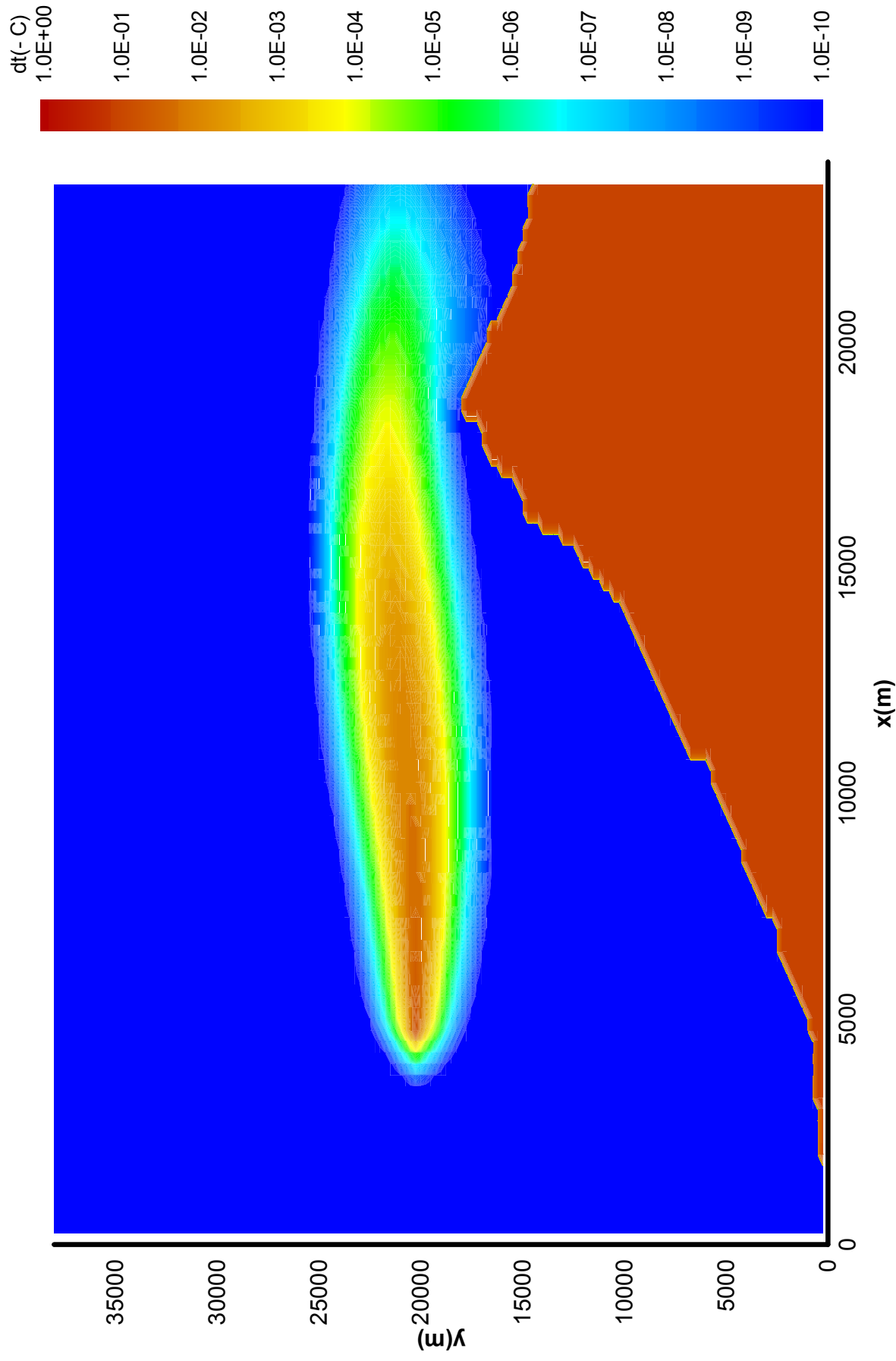


Figura 4.1.8: campo di variazione termica mediato lungo la profondita', direzione del vento 60 Nord. $V = 20$ nodi. Decremento nella cella di immissione: 0.085 C

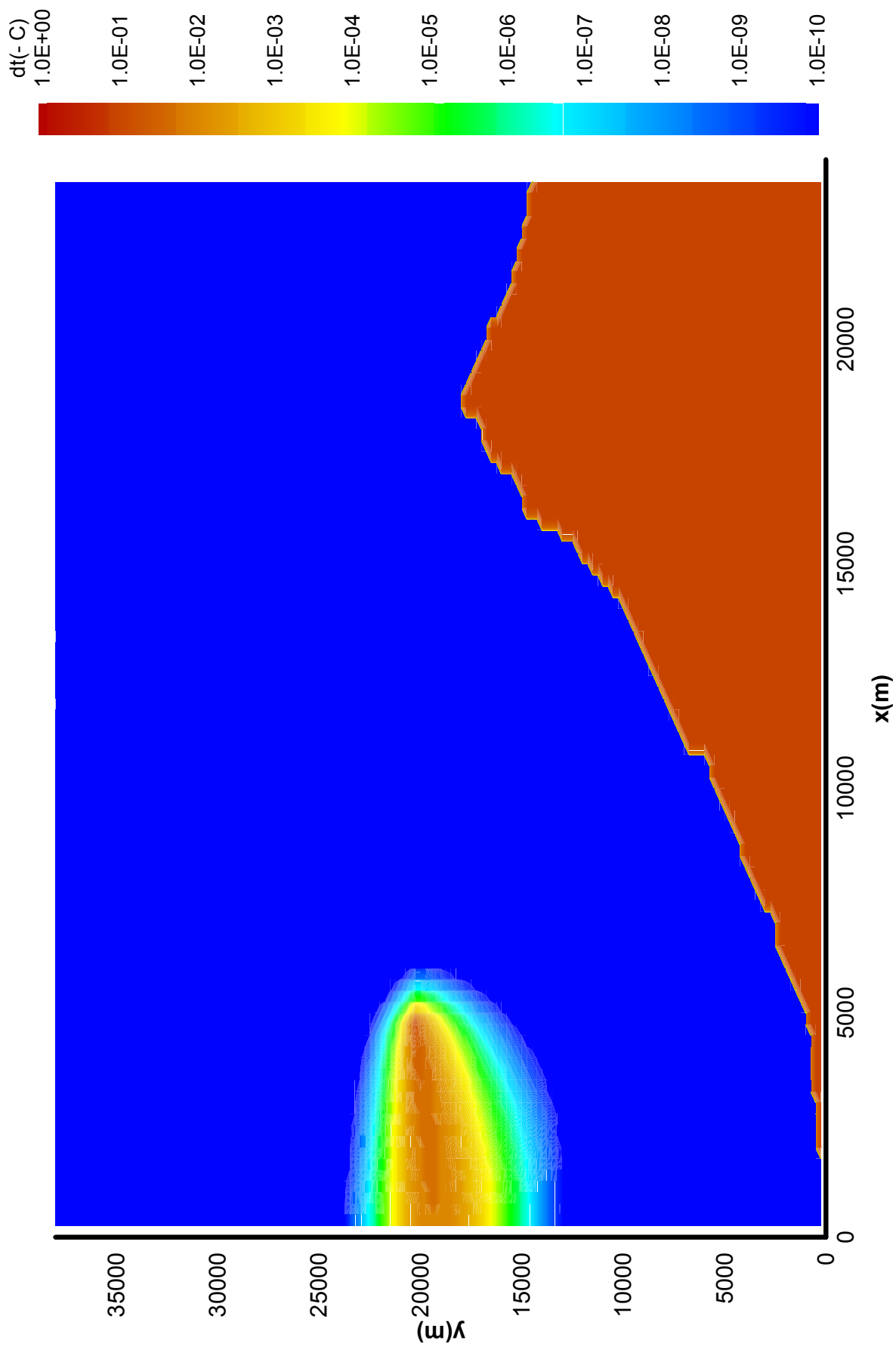


Figura 4.1.9: campo di variazione termica mediato lungo la profondita', direzione del vento 150 Nord. $V = 16$ nodi. Decremento nella cella di immissione: 0.085 C

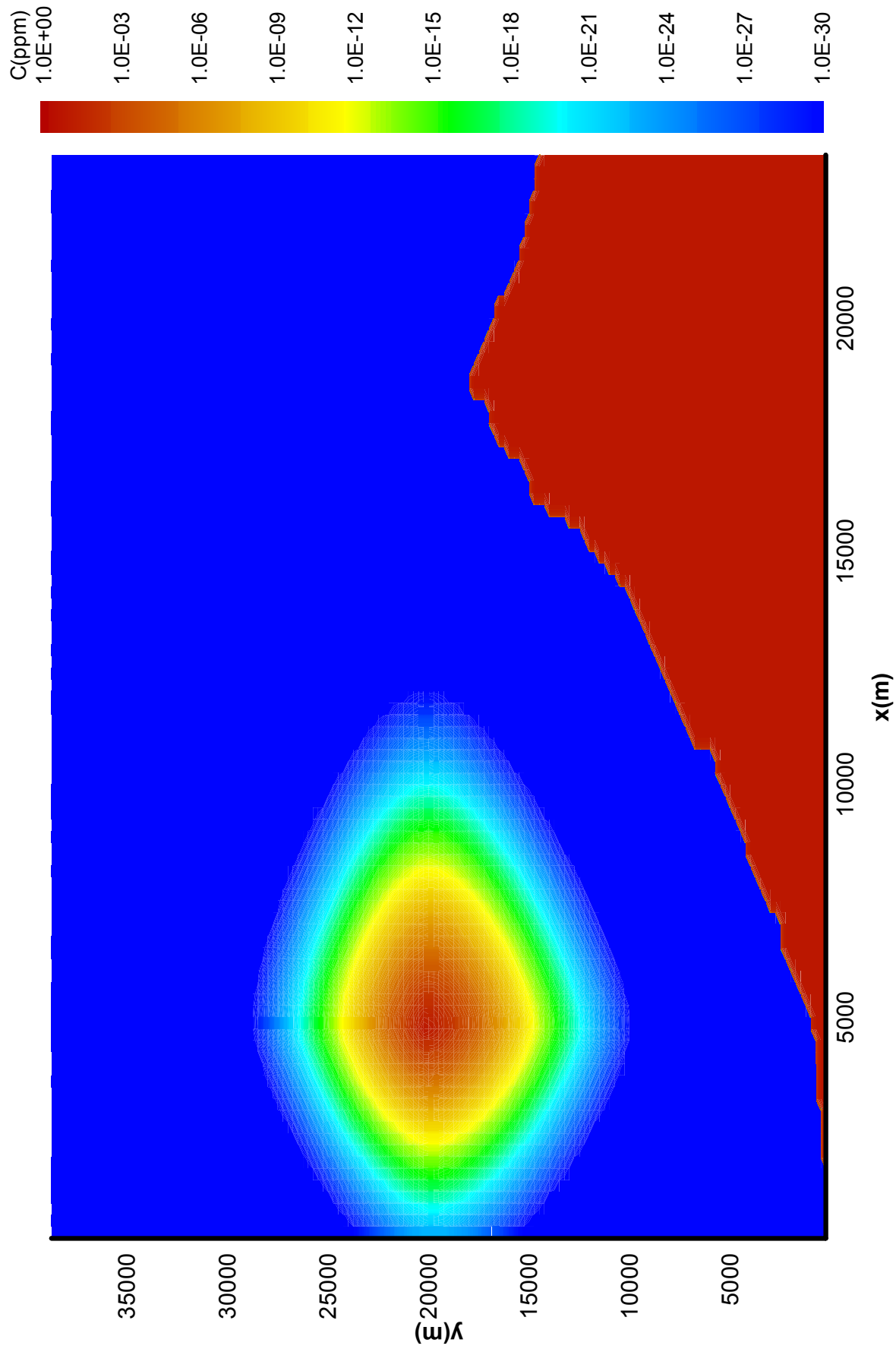


Figura 4.1.10: concentrazioni di cloro mediate lungo la profondita', direzione del vento 90 Nord. $V = 12$ nodi. Concentrazione nella cella di immissione: 0.1584 ppm

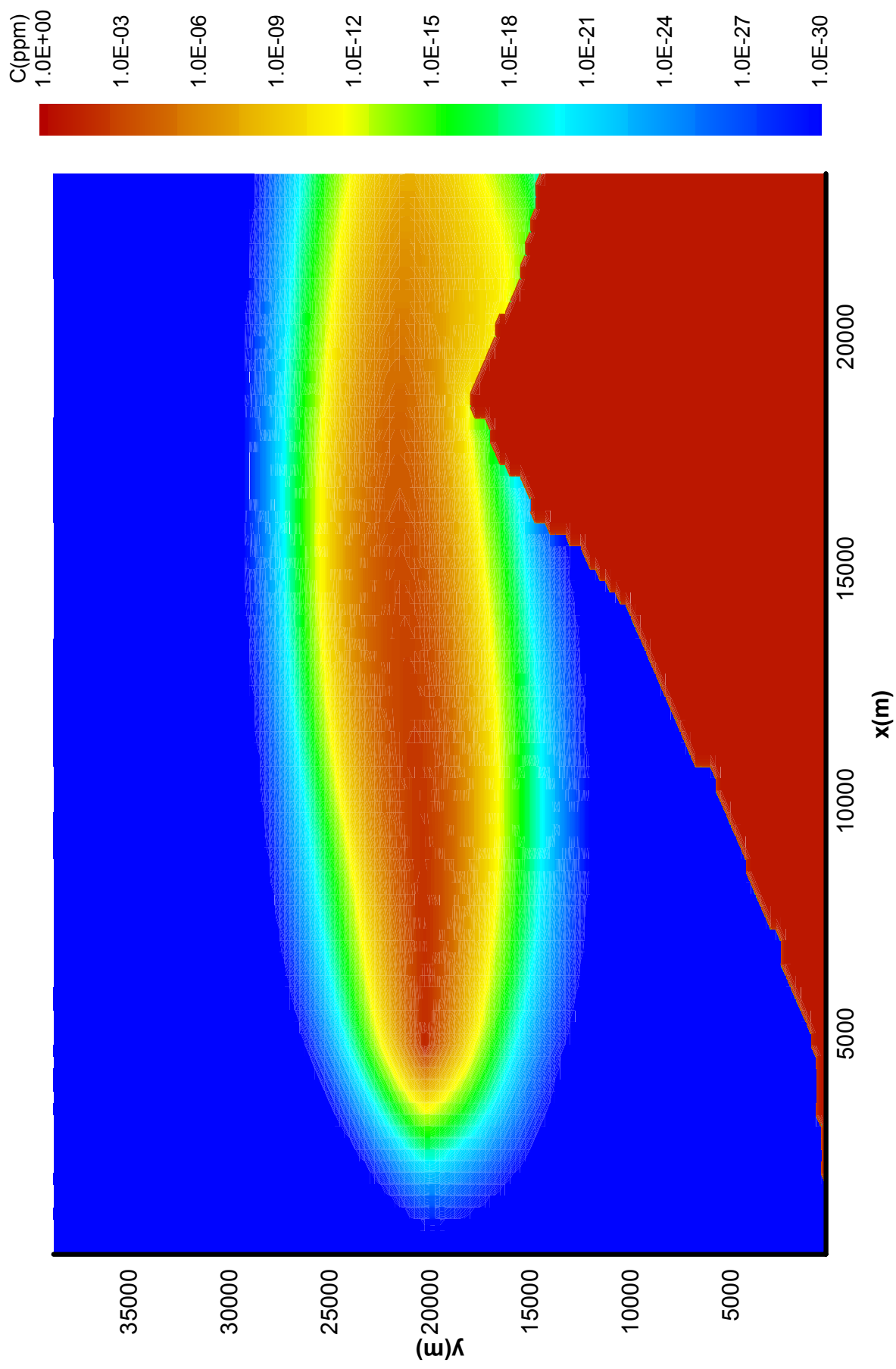


Figura 4.1.11: concentrazioni di cloro mediate lungo la profondita',
 direzione del vento 60 Nord. $V = 20$ nodi.
 Concentrazione nella cella di immissione: 0.015 ppm

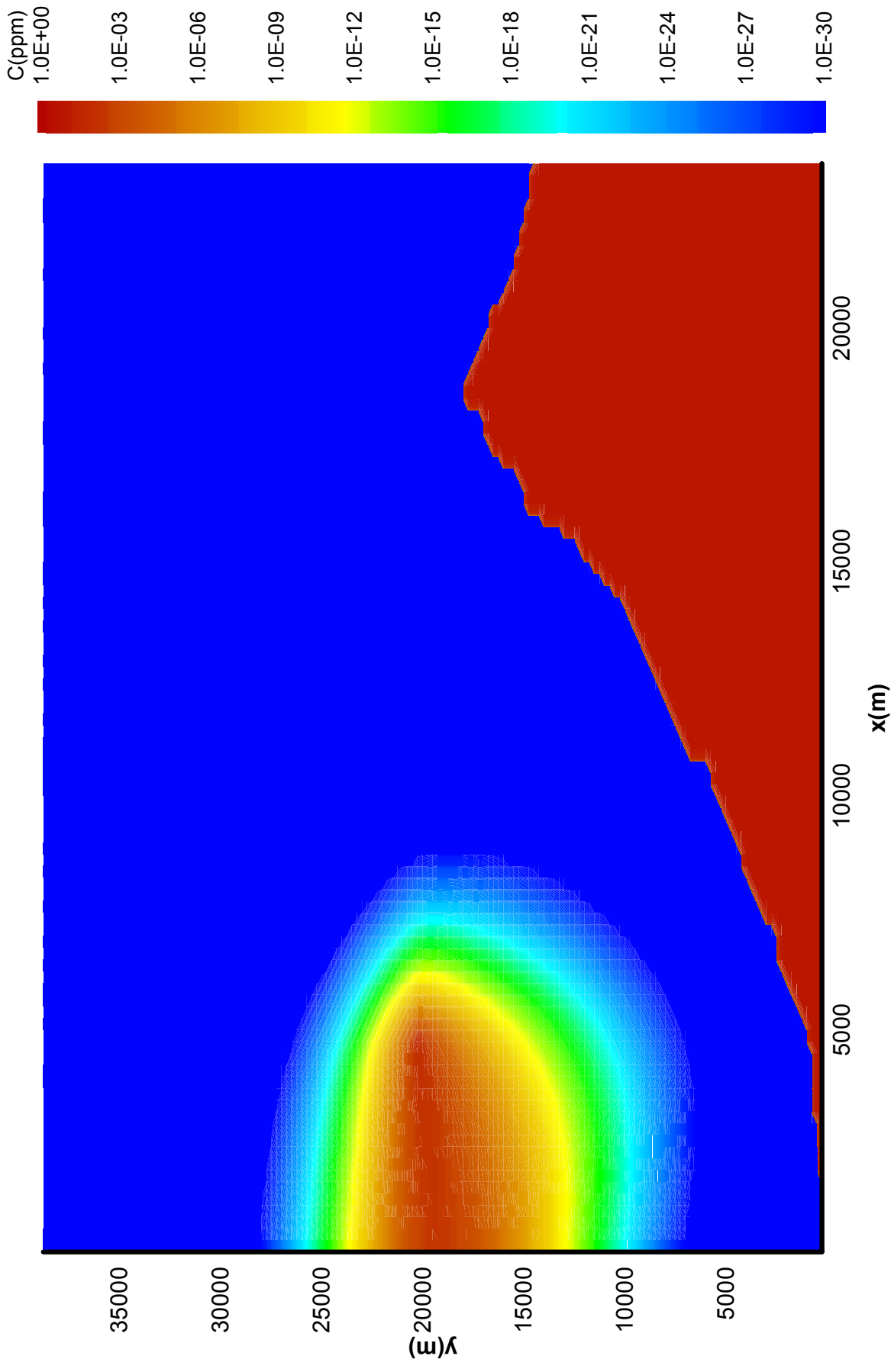


Figura 4.1.12: concentrazioni di cloro mediate lungo la profondita', direzione del vento 150 Nord. $V = 16$ nodi. Concentrazione nella cella di immissione: 0.015 ppm

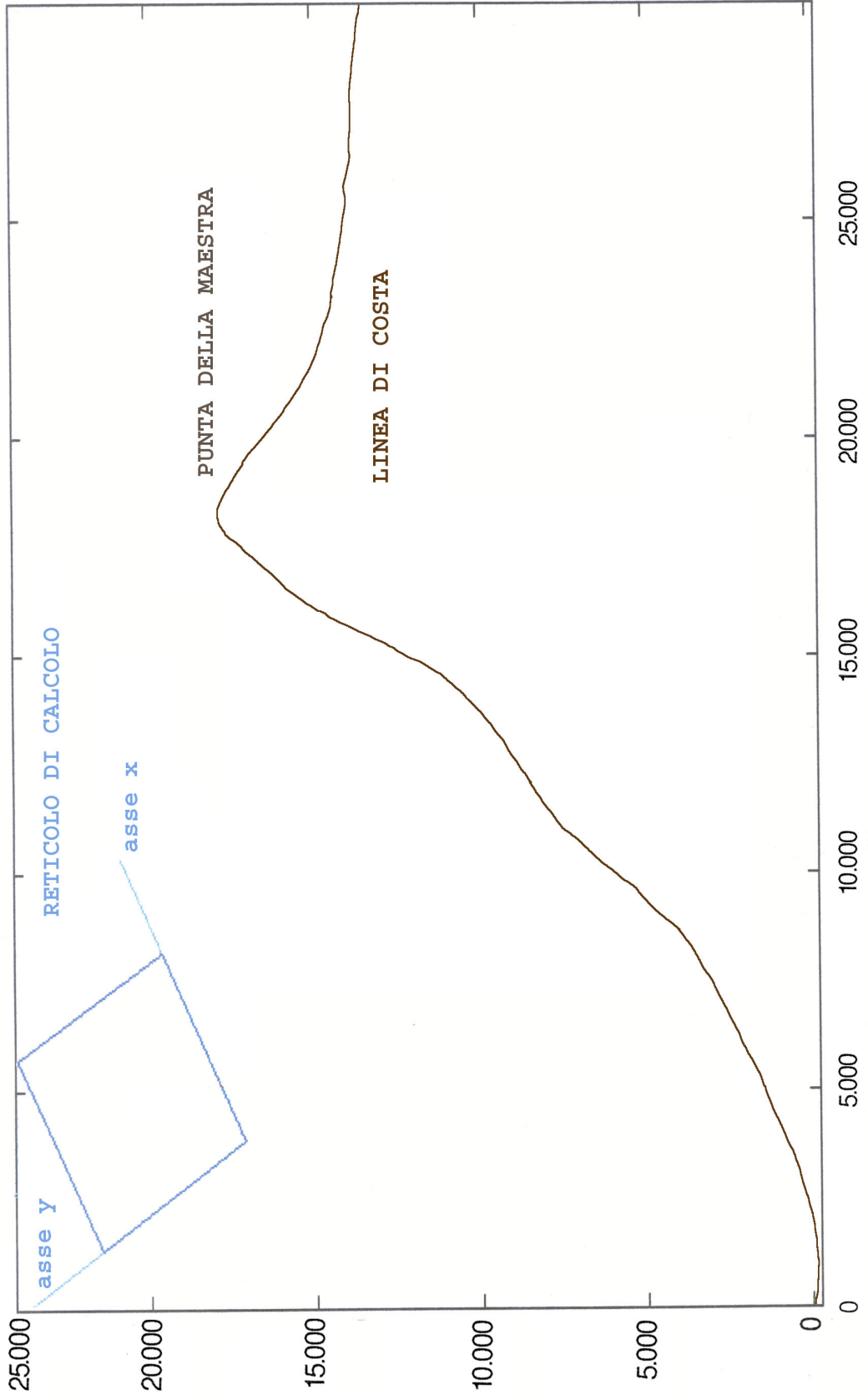


FIGURA 4.2.1.1 Orientamento del reticolo di calcolo

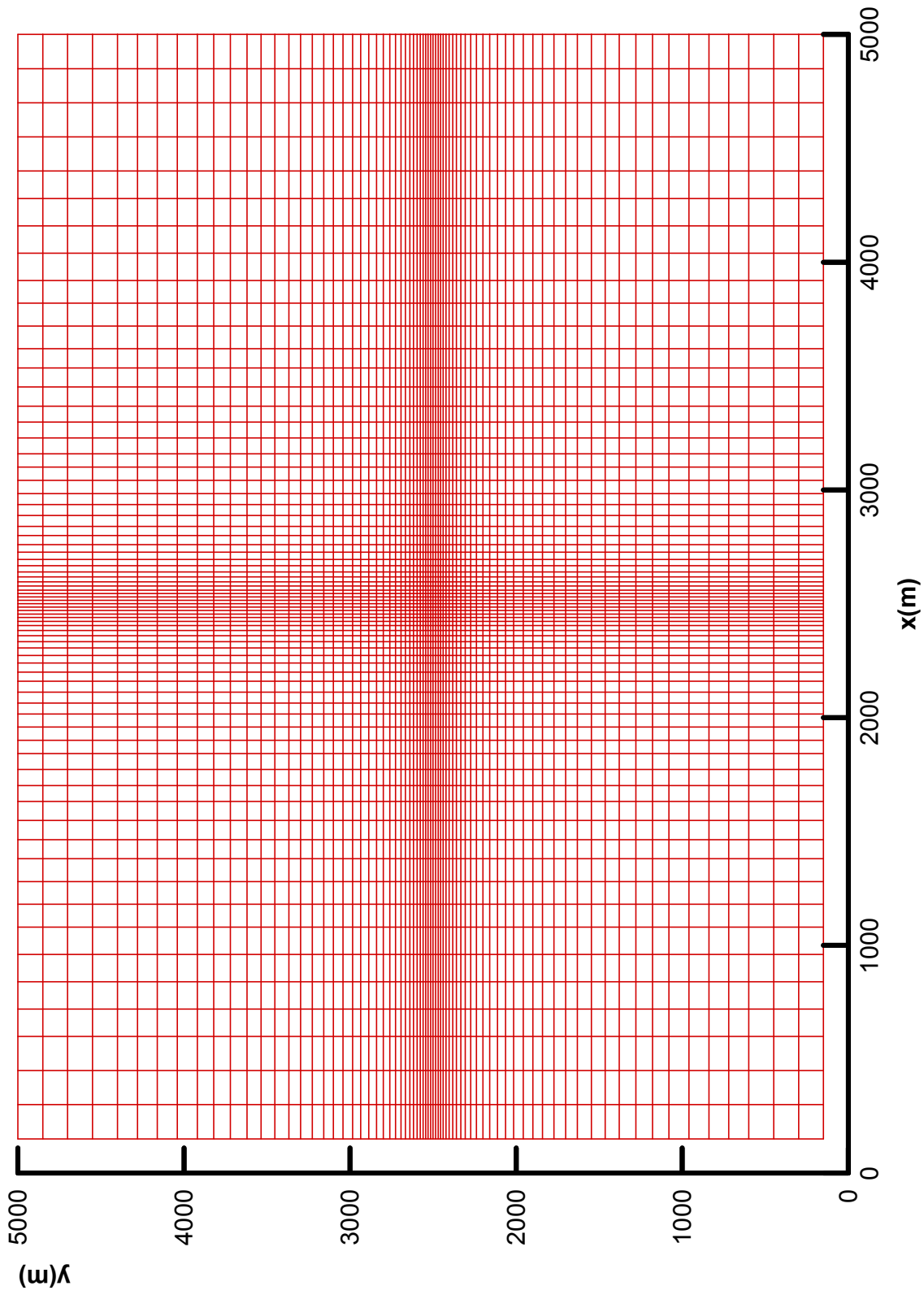


figura 4.2.2.1.1. Grigliato di calcolo orizzontale

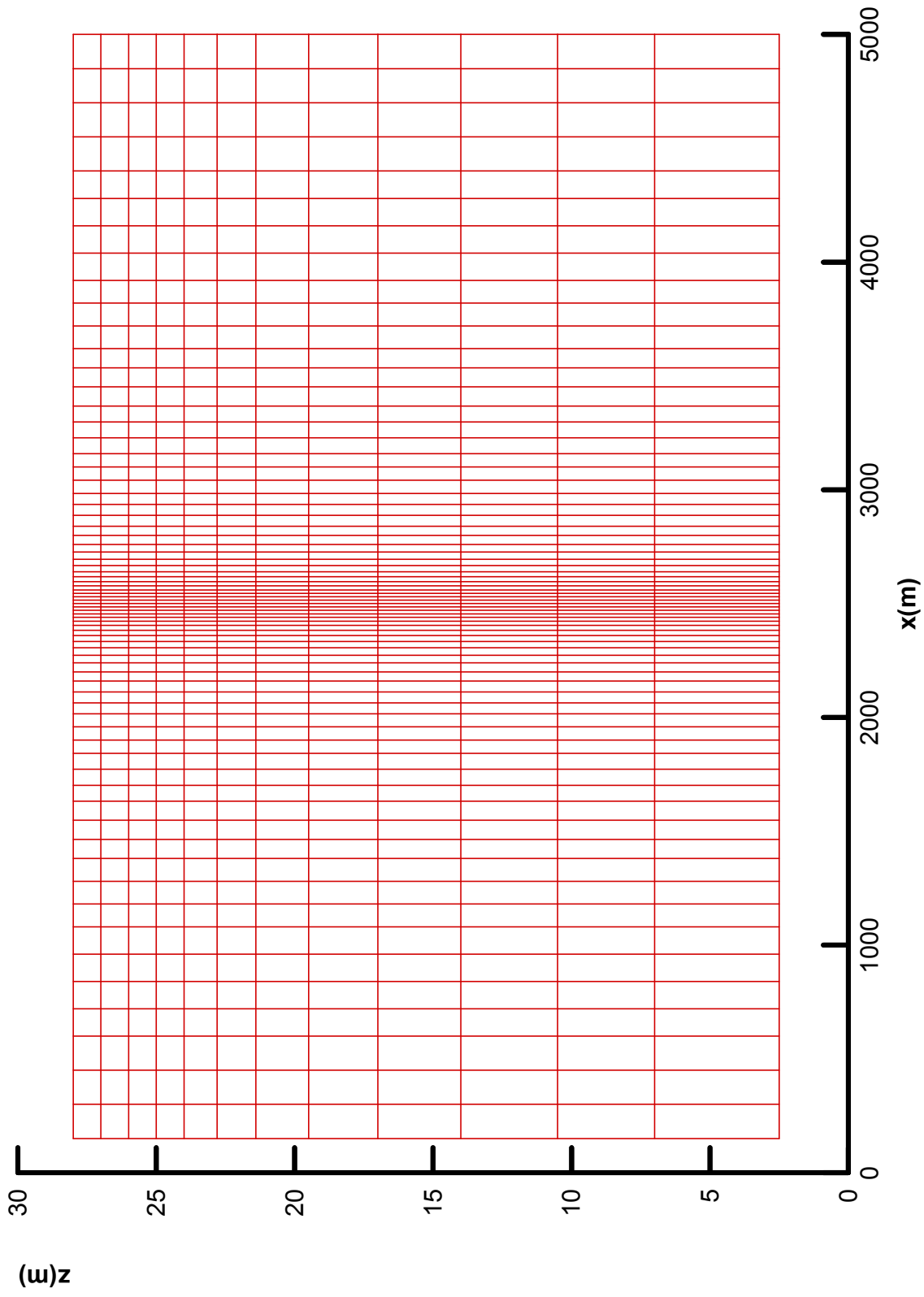


figura 4.2.2.2. Grigliato di calcolo nella sezione longitudinale mediana

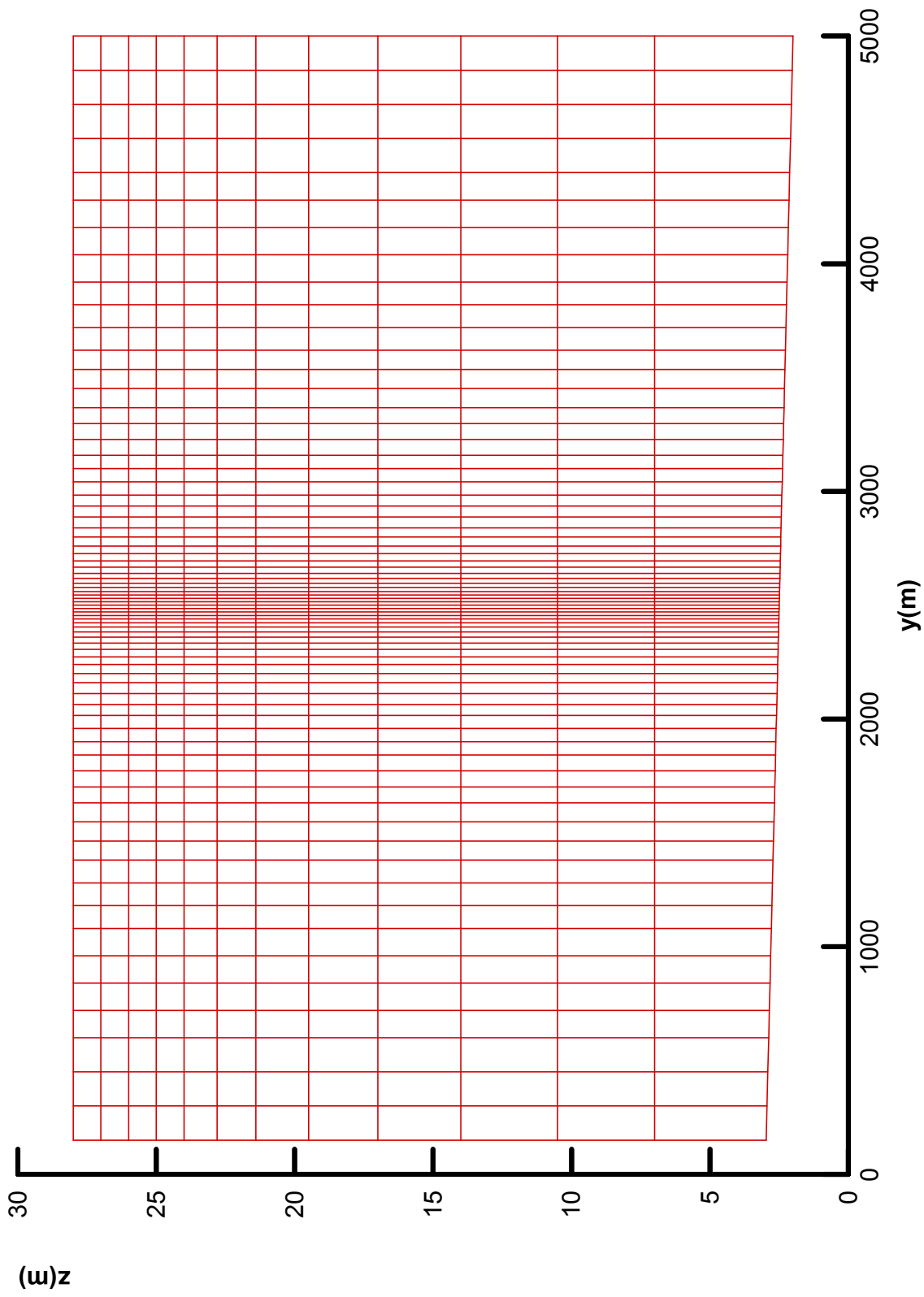


figura 4.2.2.3. Grigliato di calcolo nella sezione trasversale mediana

IN ASSENZA DI STRATIFICAZIONE TERMICA INIZIALE

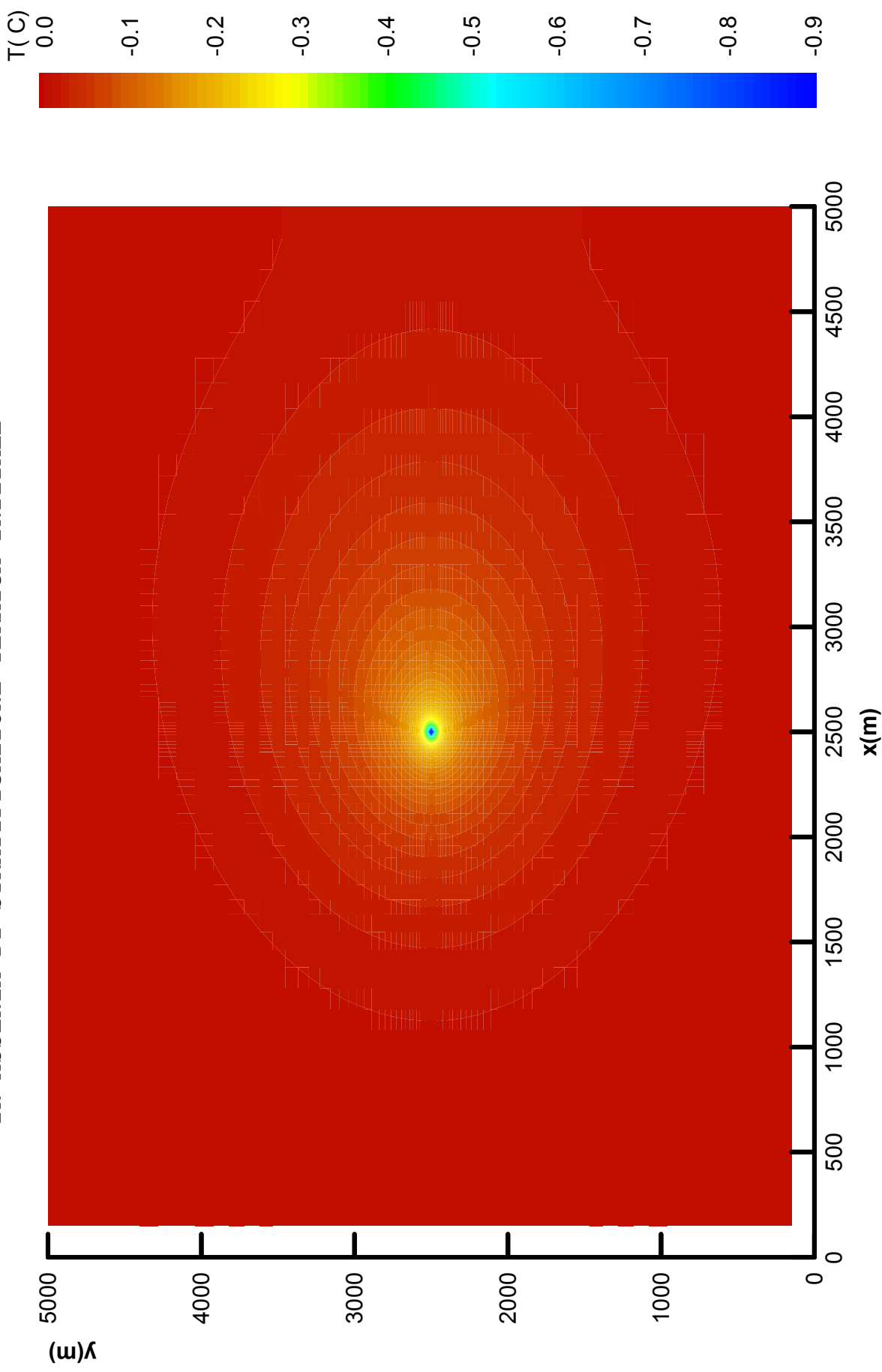


figura 4. 2. 3 Campo di variazione termica $T(C)$ nella sezione orizzontale passante per la immissione, dopo 24 ore. Decremento nella cella di immissione: -1.47 C

IN ASSENZA DI STRATIFICAZIONE TERMICA INIZIALE

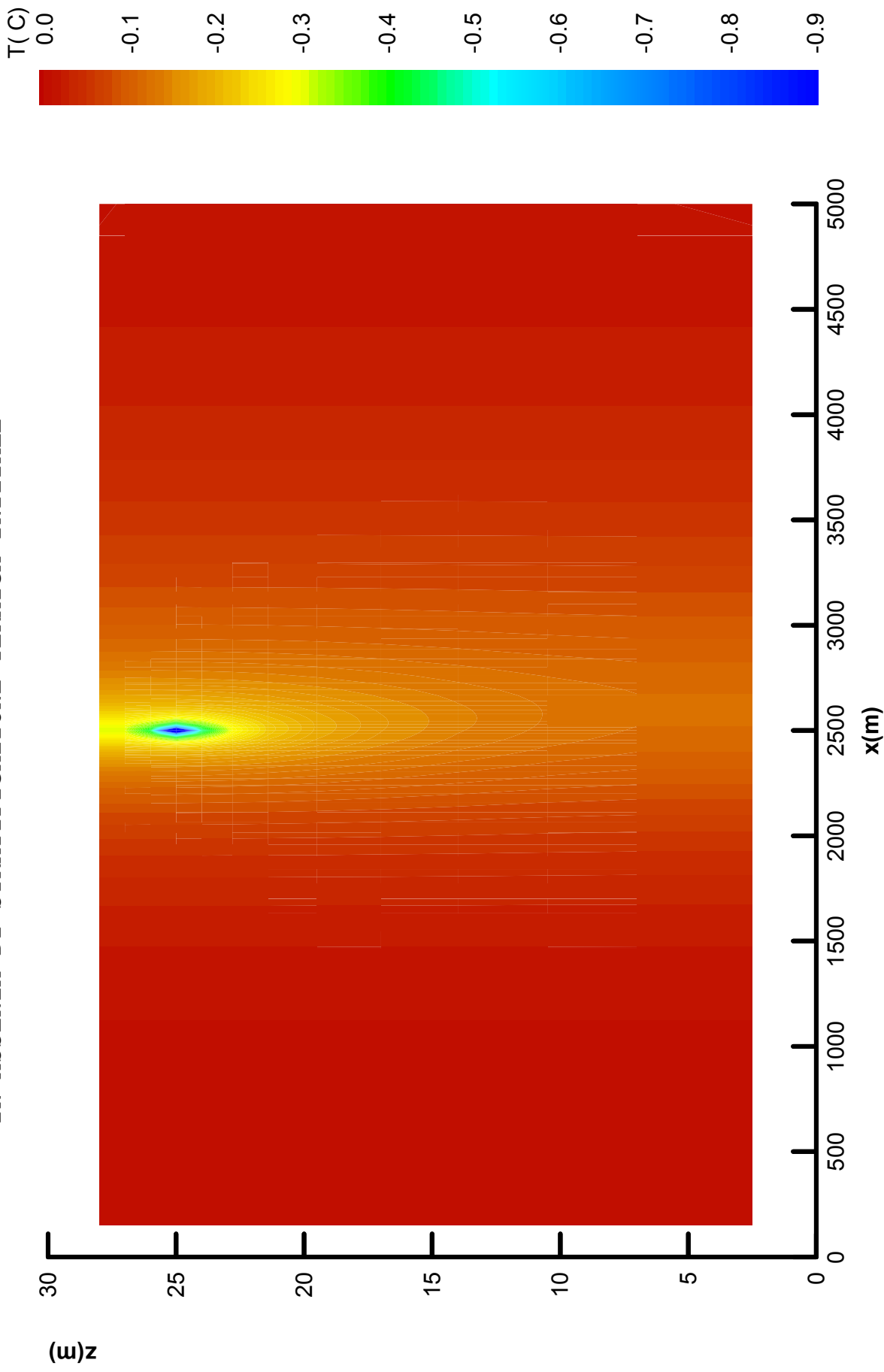


figura 4. 2. 4 Campo di variazione termica $T(C)$ nella sezione longitudinale passante per la immissione, dopo 24 ore. Decremento nella cella di immissione: -1.47 C

IN ASSENZA DI STRATIFICAZIONE TERMICA INIZIALE

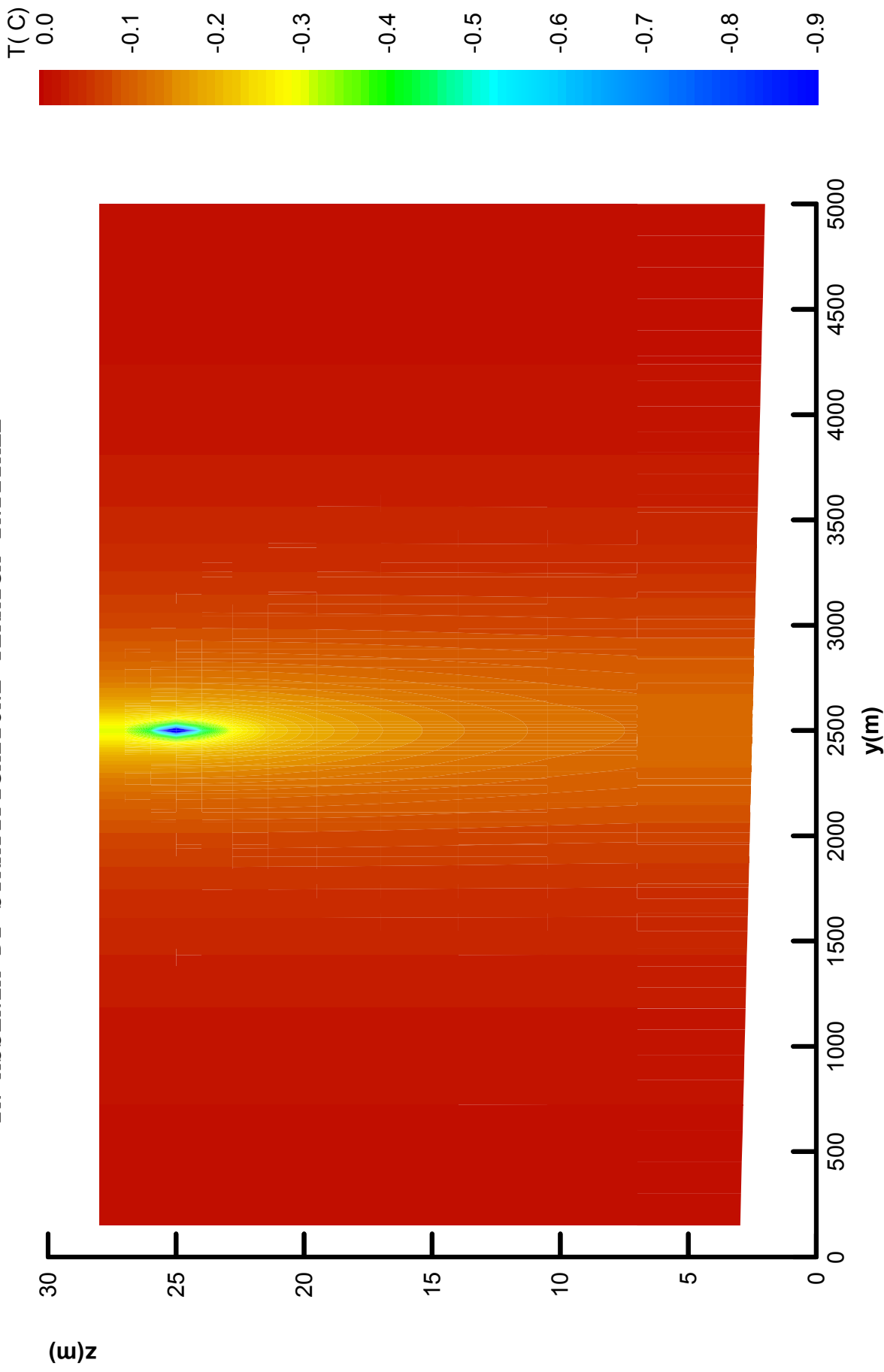


figura 4. 2. 5 Campo di variazione termica $T(C)$ nella sezione trasversale passante per la immissione, dopo 24 ore. Decremento nella cella di immissione: -1.47 C

IN ASSENZA DI STRATIFICAZIONE TERMICA INIZIALE

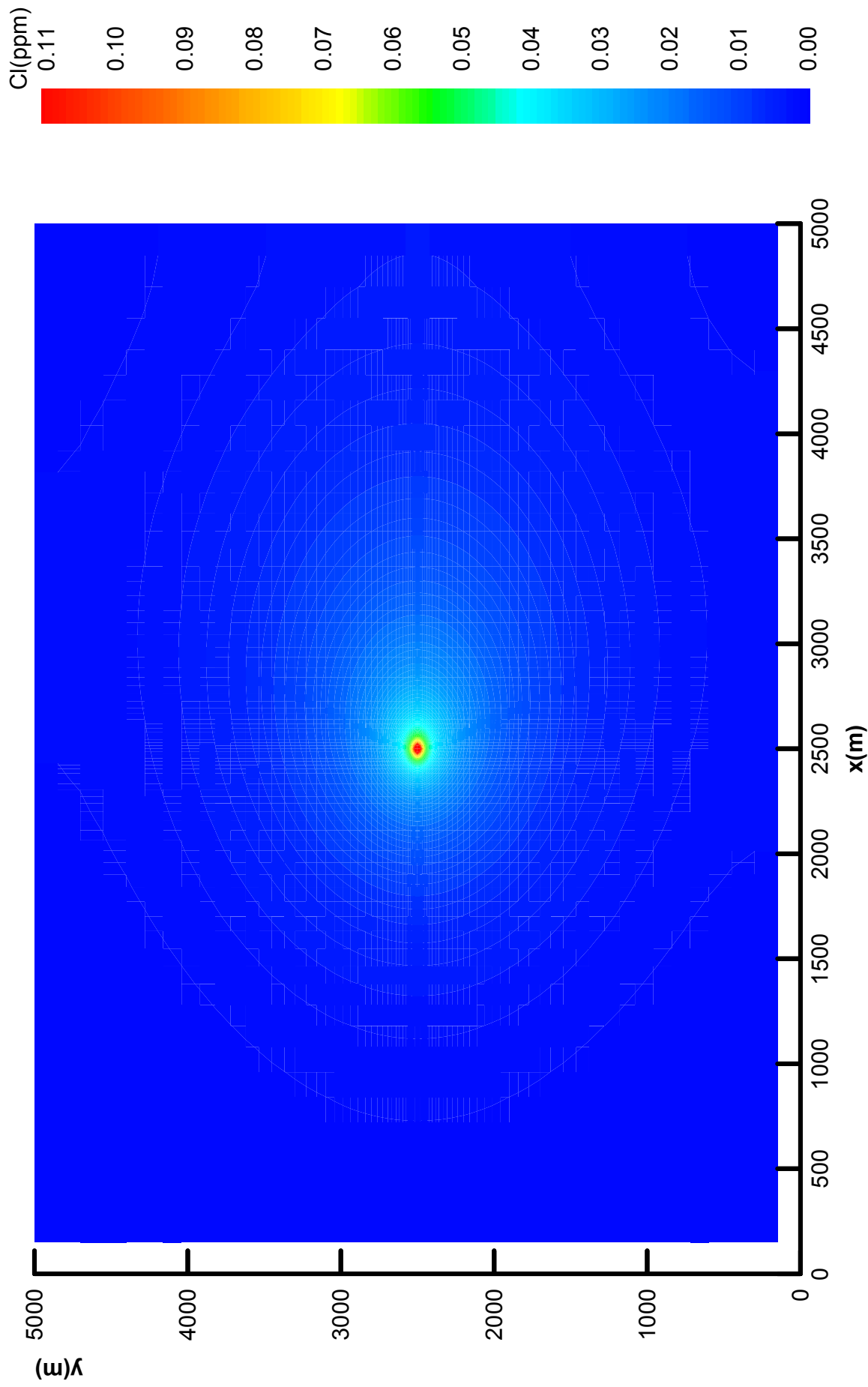


figura 4. 2. 6. Campo di concentrazione di cloro nella sezione orizzontale passante per la immissione, dopo 24 ore. Concentrazione nella cella di immissione: 0.30 ppm

IN ASSENZA DI STRATIFICAZIONE TERMICA INIZIALE

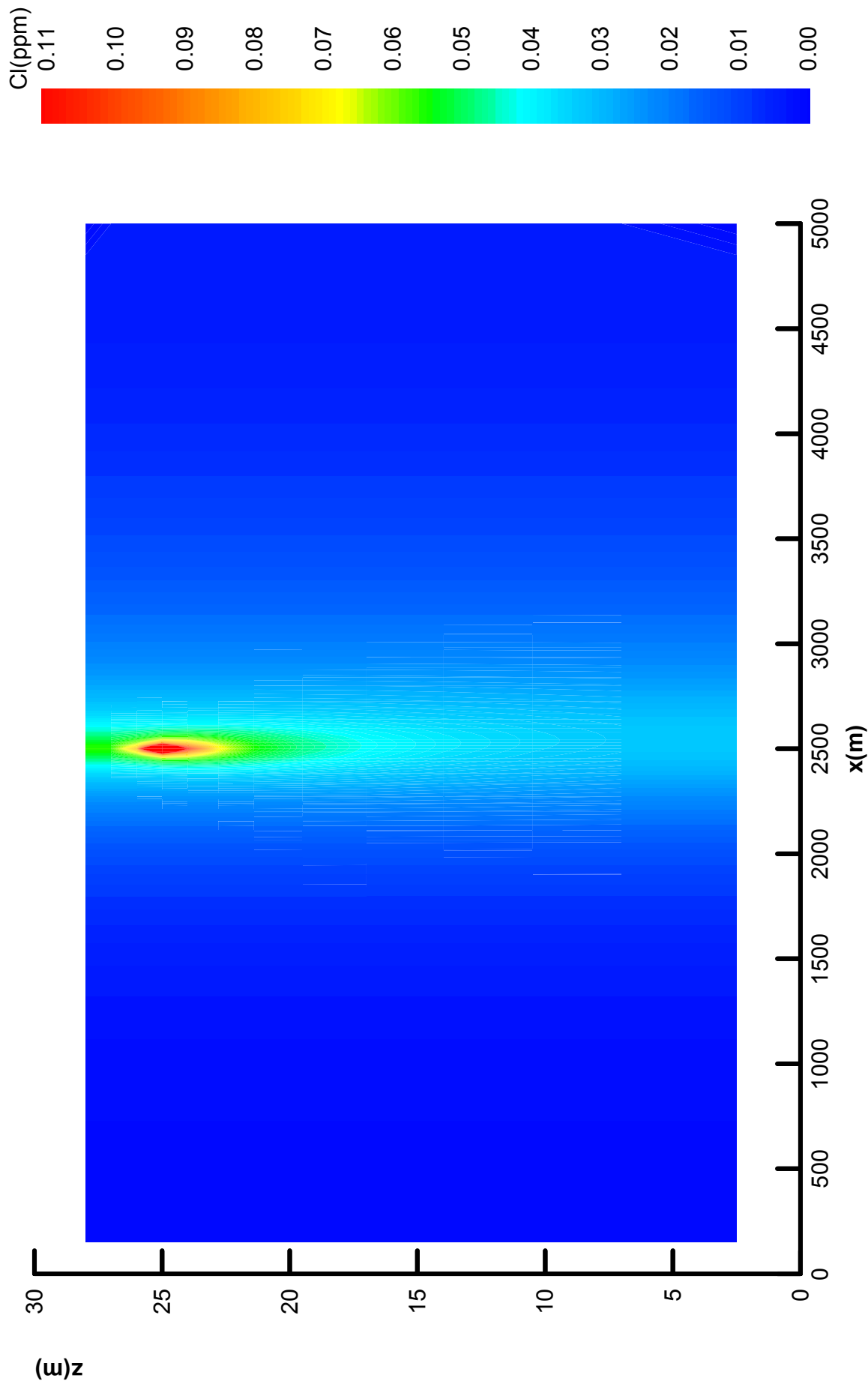


figura 4. 2. 7. Campo di concentrazione di cloro nella sezione longitudinale passante per la immissione, dopo 24 ore. Concentrazione nella cella di immissione: 0.30 ppm

IN ASSENZA DI STRATIFICAZIONE TERMICA INIZIALE

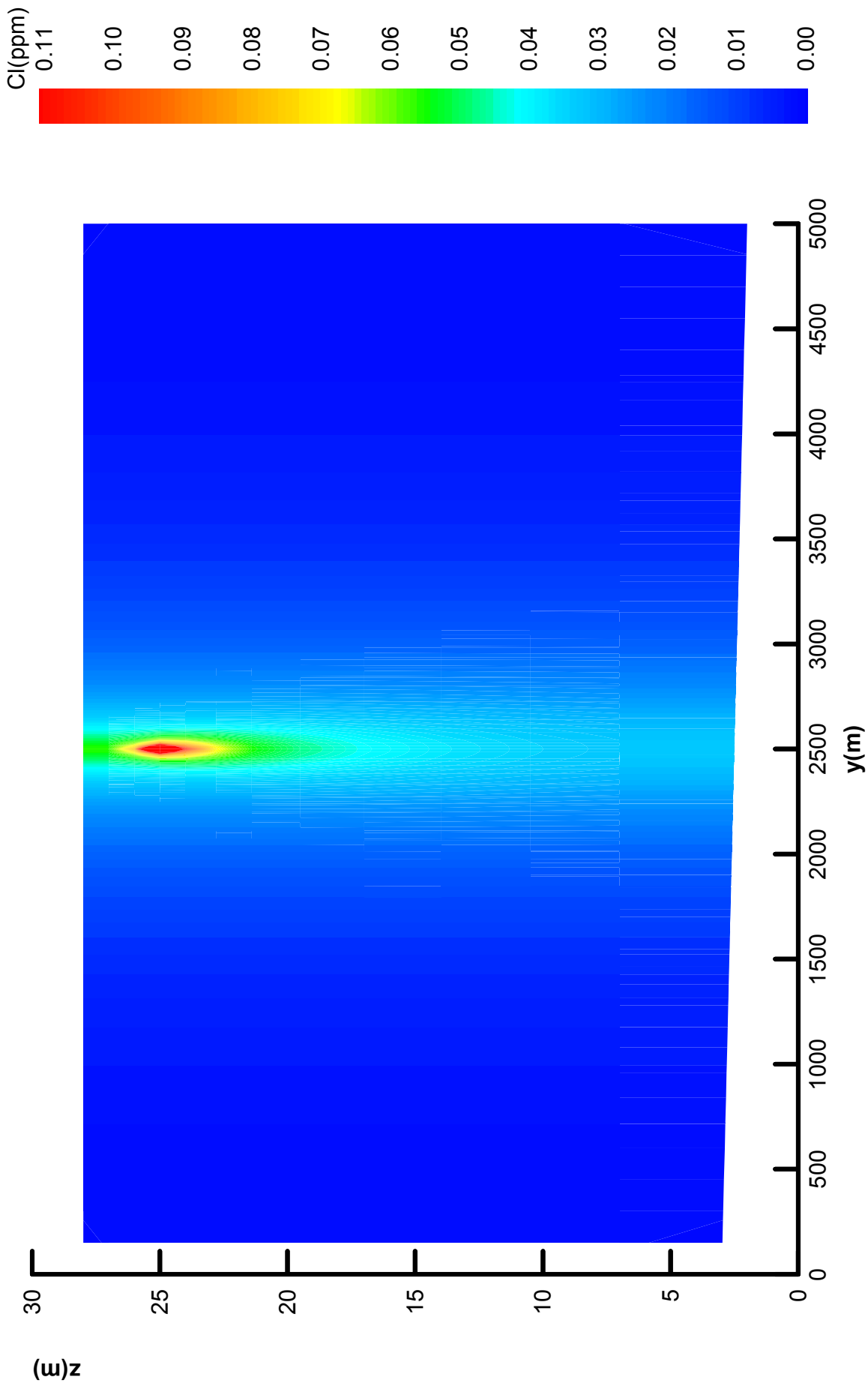


figura 4. 2. 8. Campo di concentrazione di cloro nella sezione trasversale passante per la immissione, dopo 24 ore. Concentrazione nella cella di immissione: 0.30 ppm

IN ASSENZA DI STRATIFICAZIONE TERMICA INIZIALE

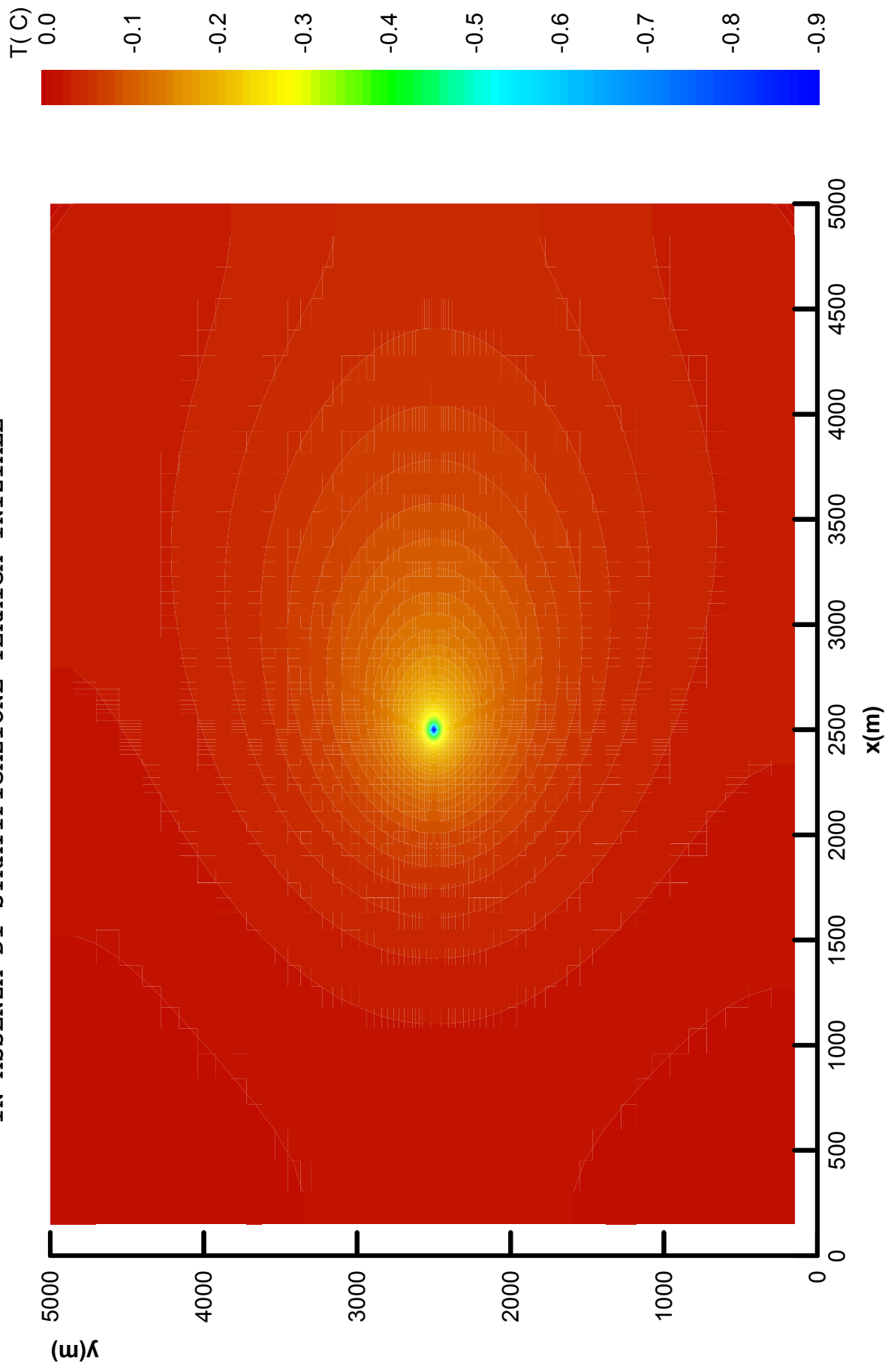


figura 4. 2. 9 Campo di variazione termica $T(C)$ nella sezione orizzontale passante per la immissione, dopo 48 ore. Decremento nella cella di immissione: -1.49 C

IN ASSENZA DI STRATIFICAZIONE TERMICA INIZIALE

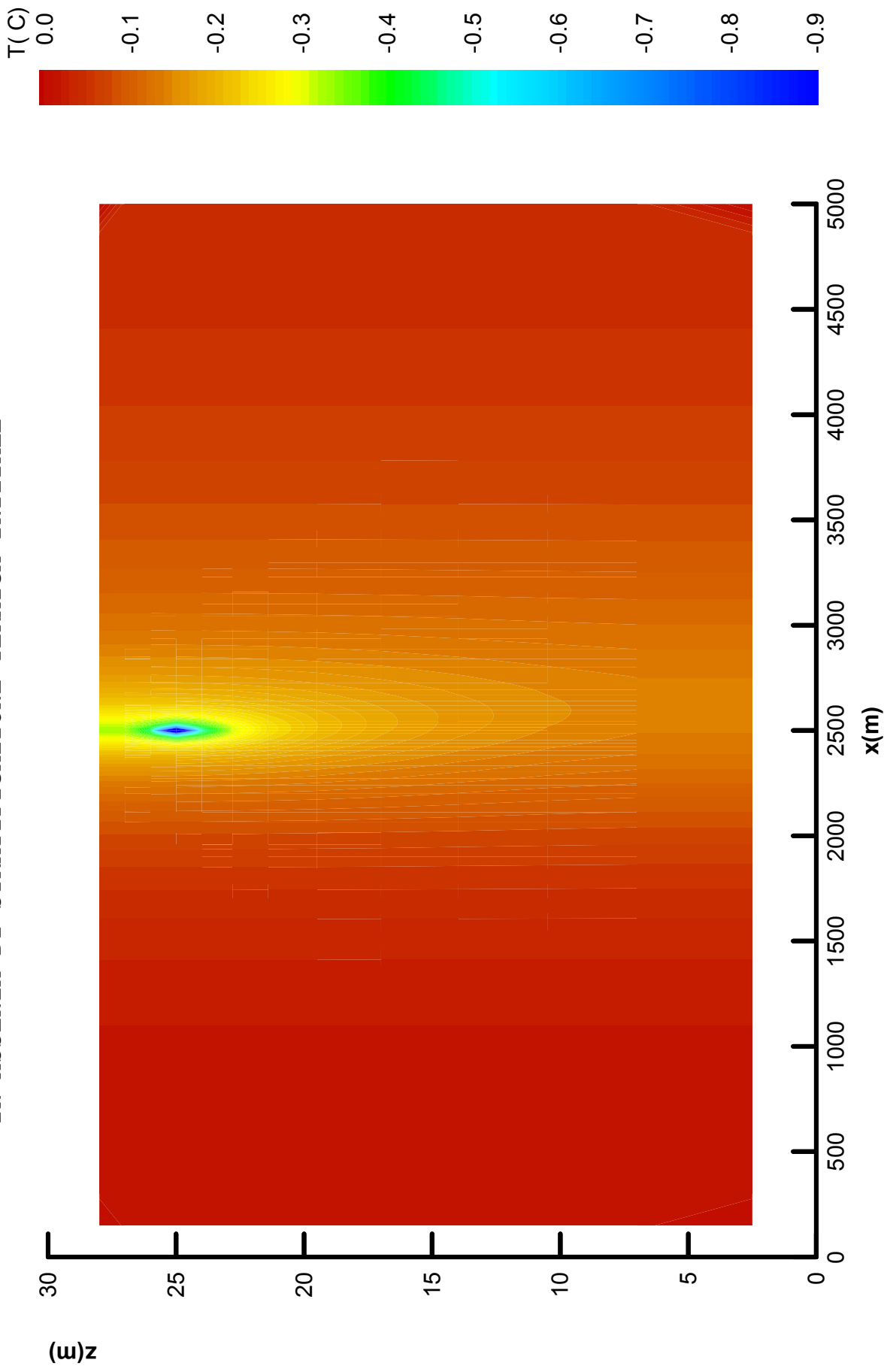


figura 4. 2. 10 Campo di variazione termica $T(C)$ nella sezione longitudinale passante per la immissione, dopo 48 ore. Decremento nella cella di immissione: -1.49 C

IN ASSENZA DI STRATIFICAZIONE TERMICA INIZIALE

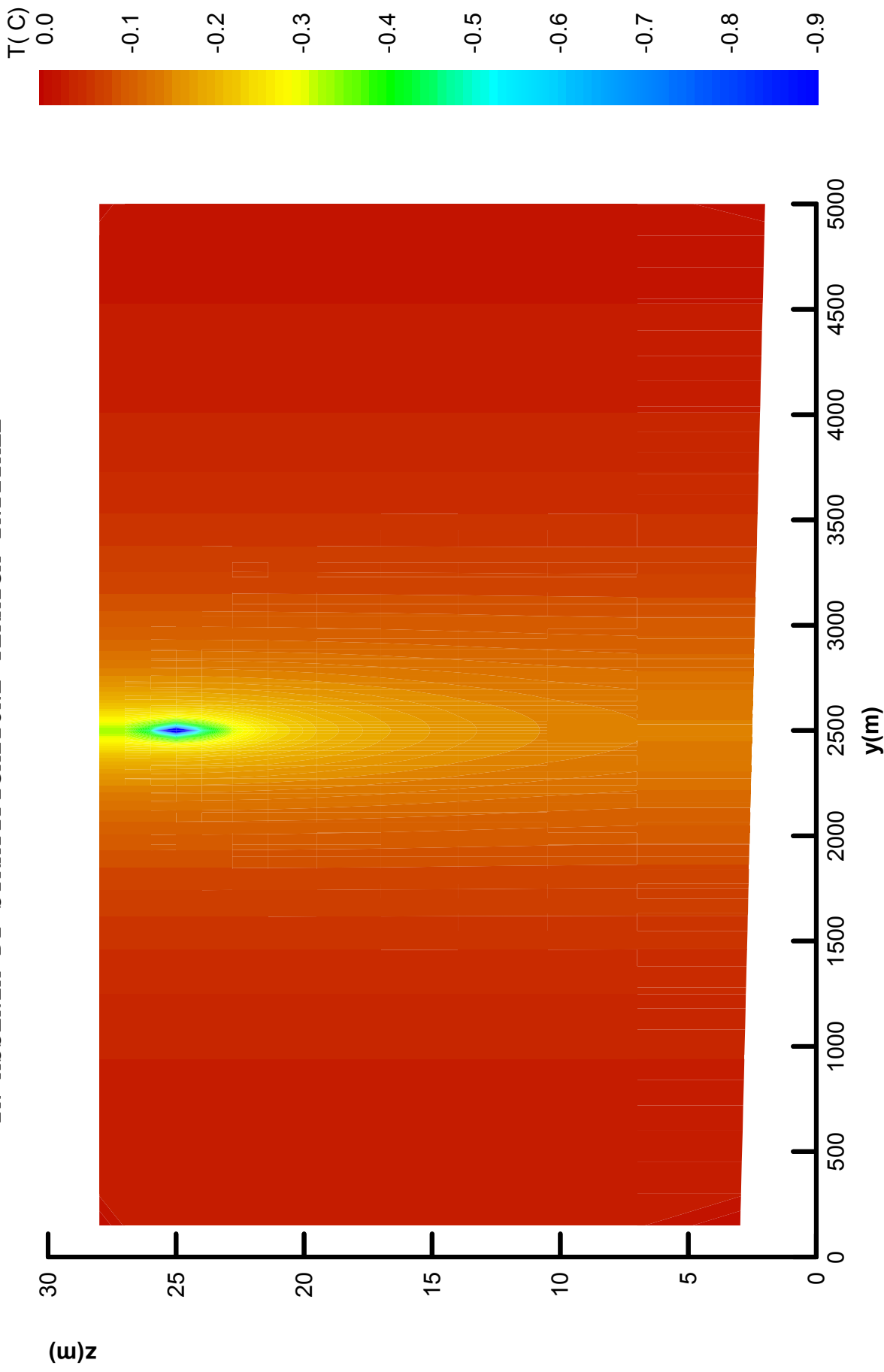


figura 4. 2. 11 Campo di variazione termica $T(C)$ nella sezione trasversale passante per la immissione, dopo 48 ore. Decremento nella cella di immissione: -1.49 C

IN ASSENZA DI STRATIFICAZIONE TERMICA INIZIALE

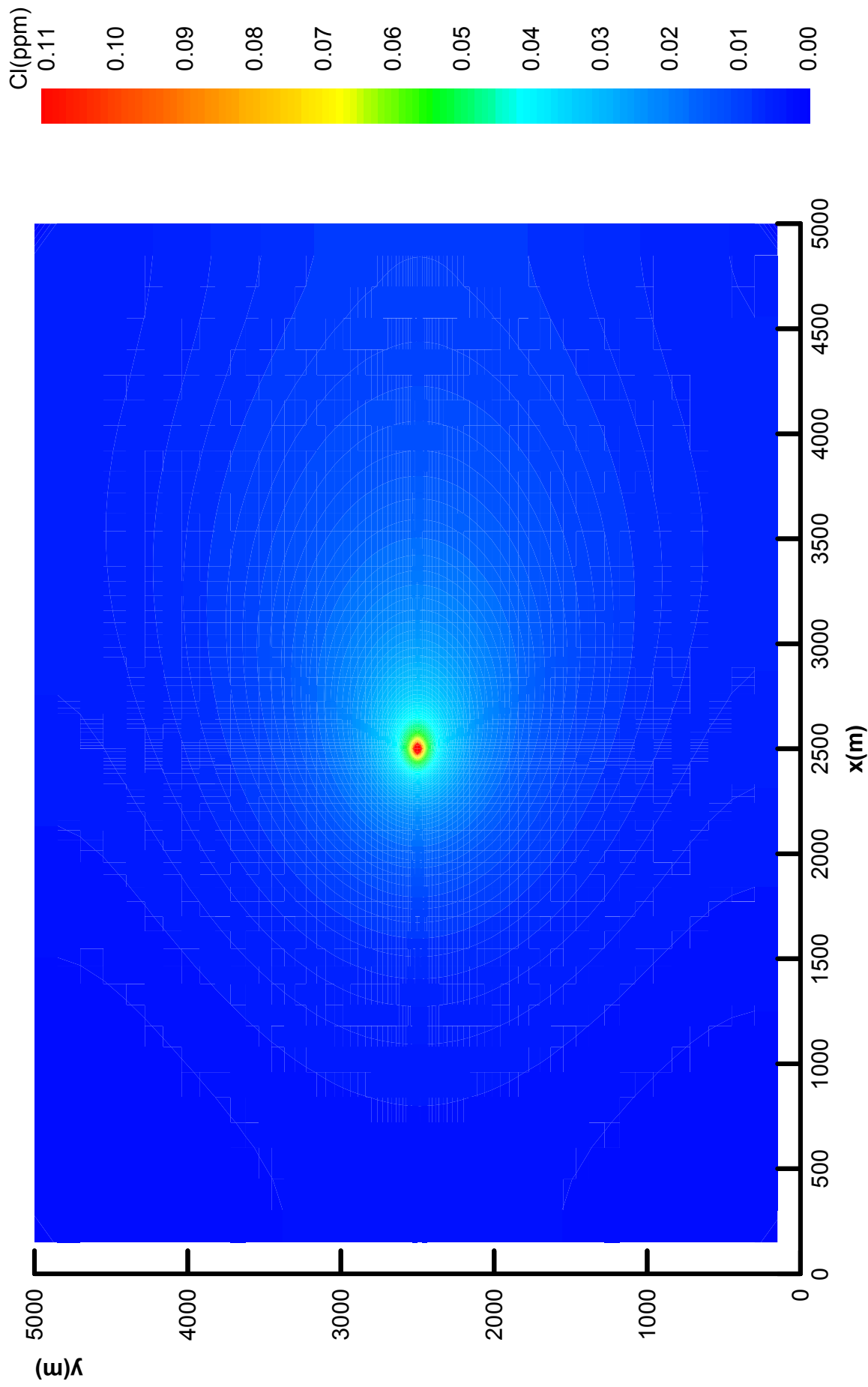


figura 4. 2. 12. Campo di concentrazione di cloro nella sezione orizzontale passante per la immissione, dopo 48 ore. Concentrazione nella cella di immissione: 0.30 ppm

IN ASSENZA DI STRATIFICAZIONE TERMICA INIZIALE

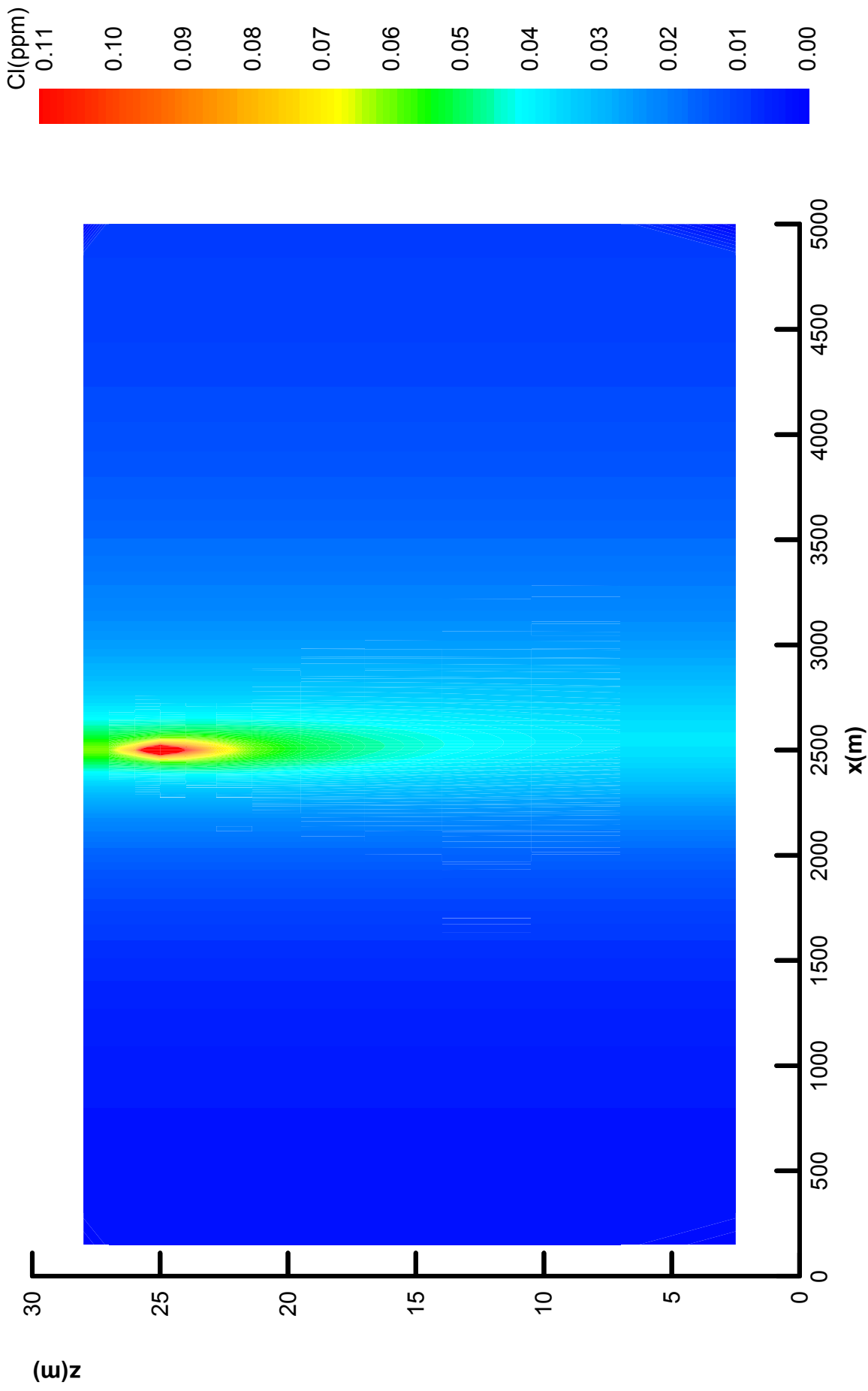


figura 4. 2. 13. Campo di concentrazione di cloro nella sezione longitudinale passante per la immissione, dopo 48 ore. Concentrazione nella cella di immissione: 0.30 ppm

IN ASSENZA DI STRATIFICAZIONE TERMICA INIZIALE

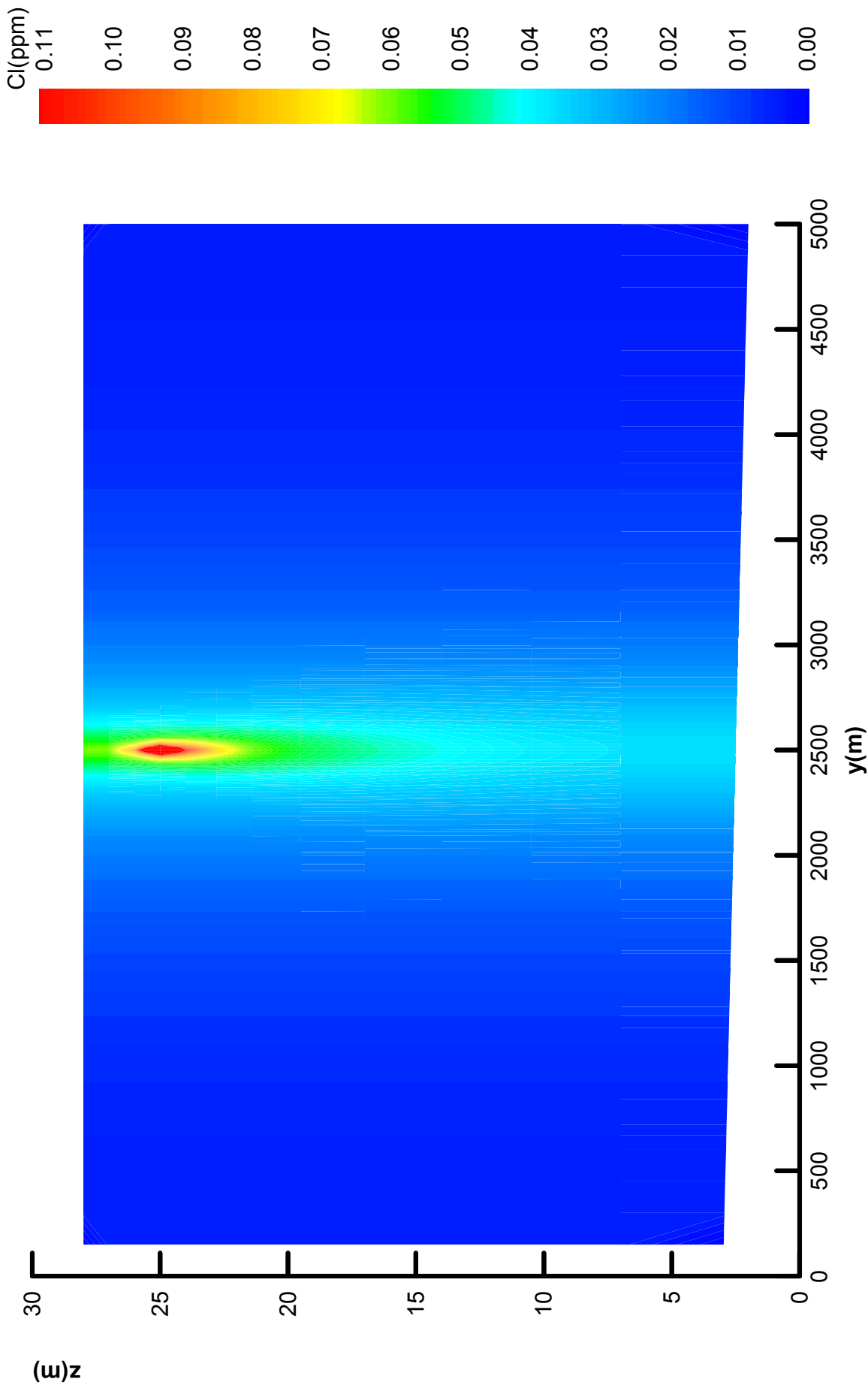


figura 4. 2. 14. Campo di concentrazione di cloro nella sezione trasversale passante per la immissione, dopo 48 ore. Concentrazione nella cella di immissione: 0.30 ppm

IN PRESENZA DI STRATIFICAZIONE TERMICA INIZIALE

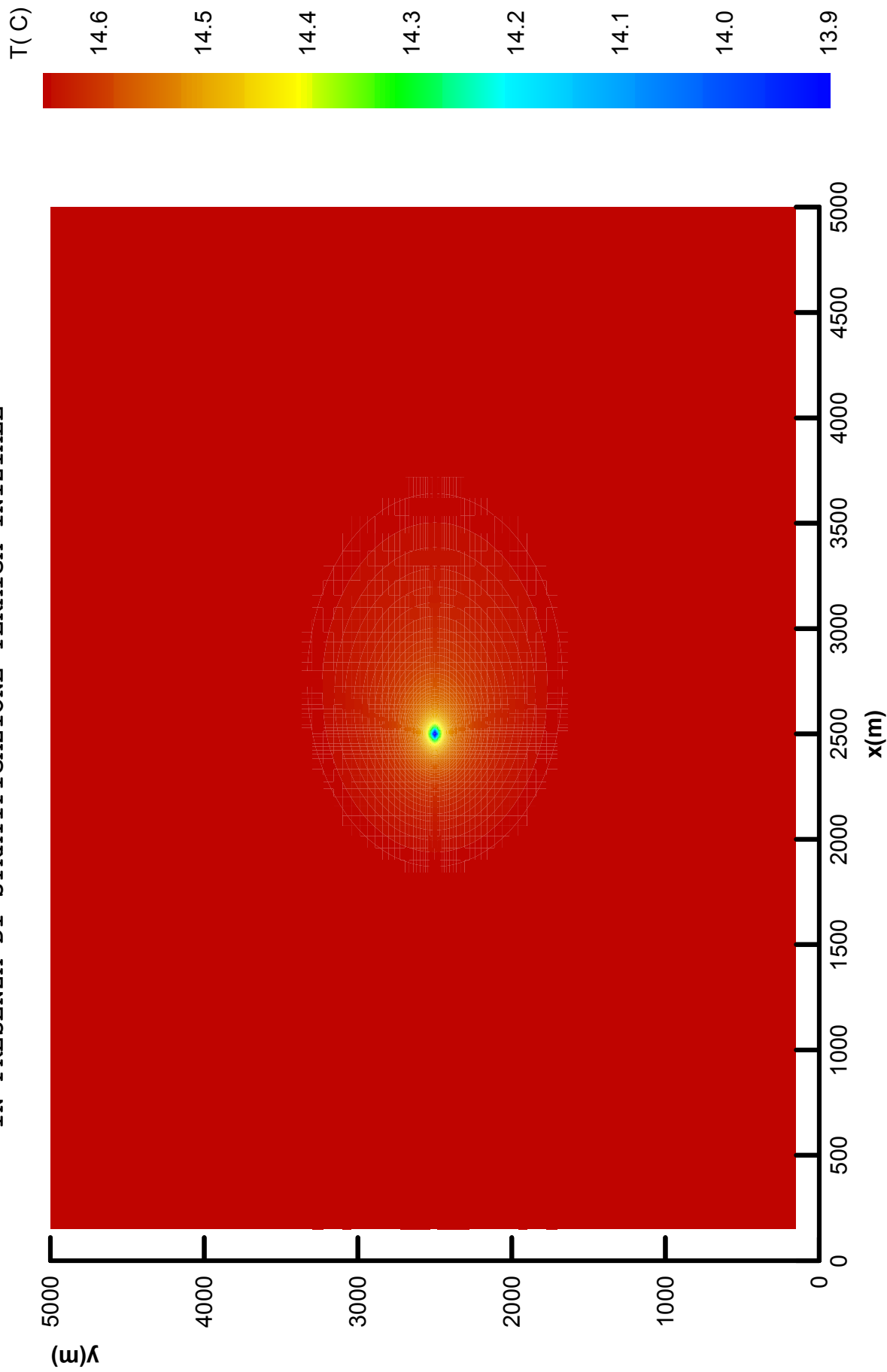


figura 4. 2. 15 Campo di temperatura T (C) nella sezione orizzontale passante per la immissione, dopo 24 ore. Temperatura nella cella di immissione: 13,2 C

IN PRESENZA DI STRATIFICAZIONE TERMICA INIZIALE

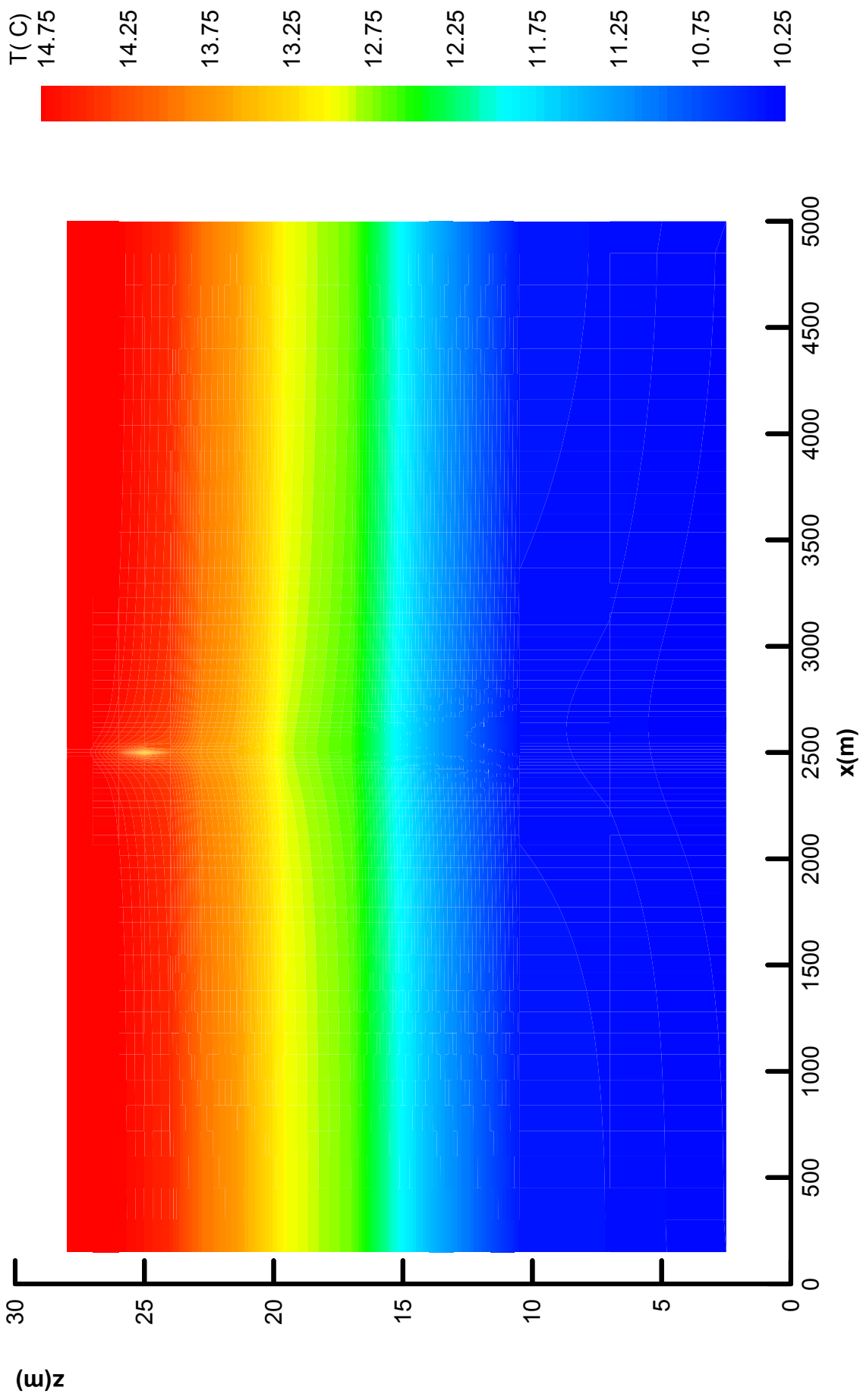


figura 4. 2. 16 Campo di temperatura $T(C)$ nella sezione longitudinale passante per la immissione, dopo 24 ore. Temperatura nella cella di immissione: 13,2 C

Per evidenziare la stratificazione termica verticale e' stata utilizzata una scala di valori della temperatura differente dalla scala di figura 4.2.15

IN PRESENZA DI STRATIFICAZIONE TERMICA INIZIALE

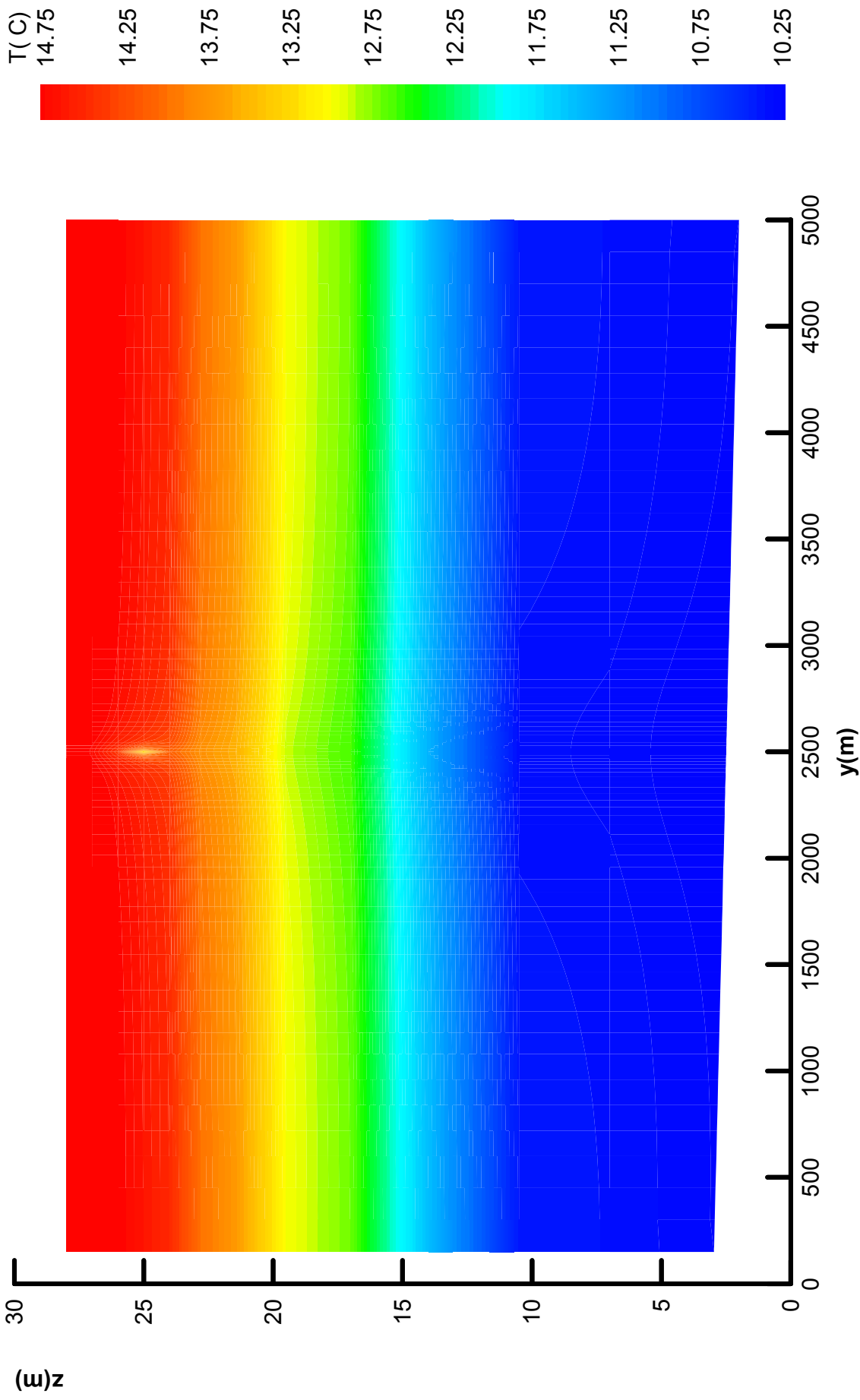


figura 4. 2. 17 Campo di temperatura $T(C)$ nella sezione trasversale passante per la immissione, dopo 24 ore. Temperatura nella cella di immissione: 13,2 C

Per evidenziare la stratificazione termica verticale e' stata utilizzata una scala di valori della temperatura differente dalla scala di figura 4.2.15

IN PRESENZA DI STRATIFICAZIONE TERMICA INIZIALE

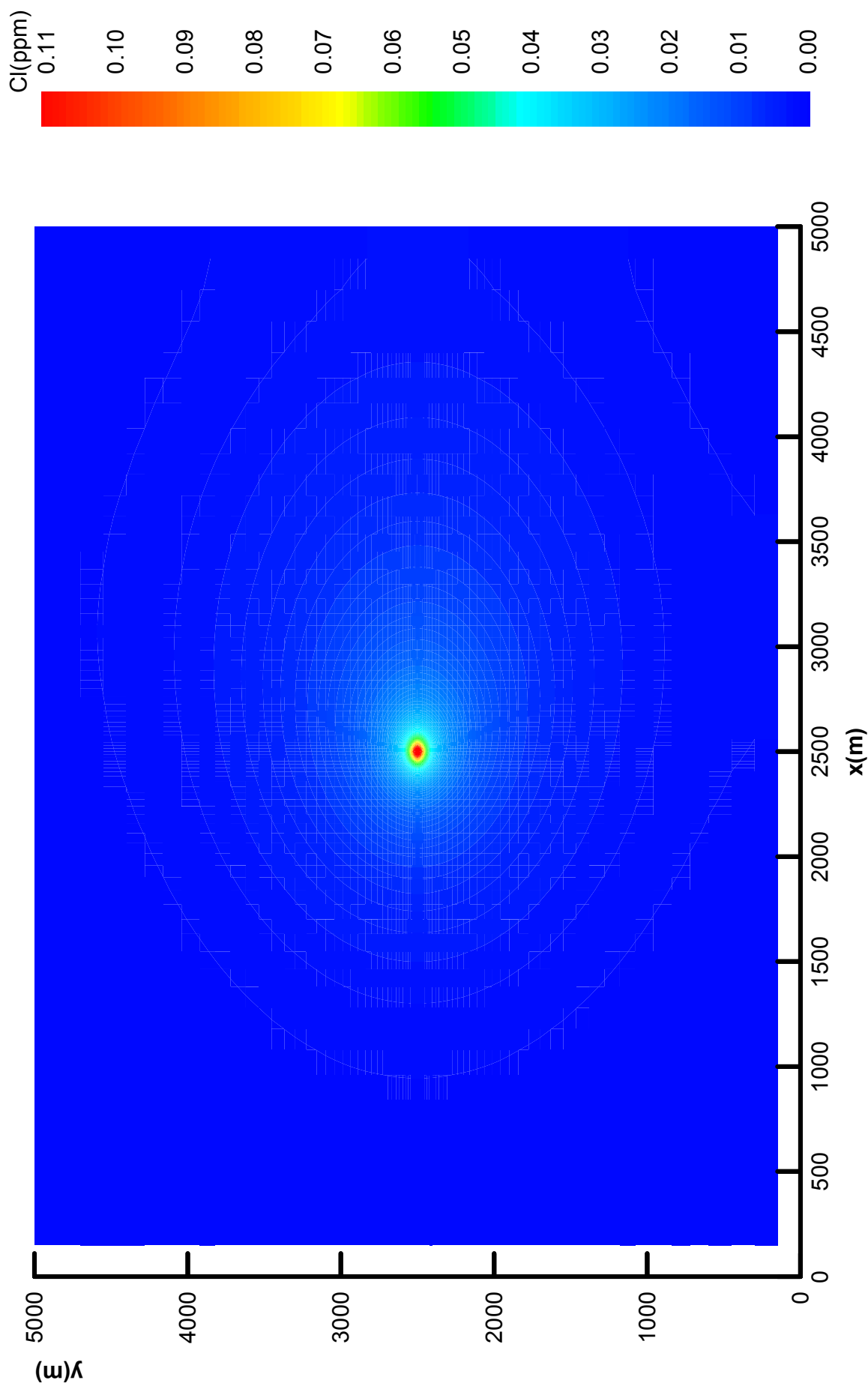


figura 4. 2. 18. Campo di concentrazione di cloro nella sezione orizzontale passante per la immissione, dopo 24 ore. Concentrazione nella cella di immissione: 0.32 ppm

IN PRESENZA DI STRATIFICAZIONE TERMICA INIZIALE

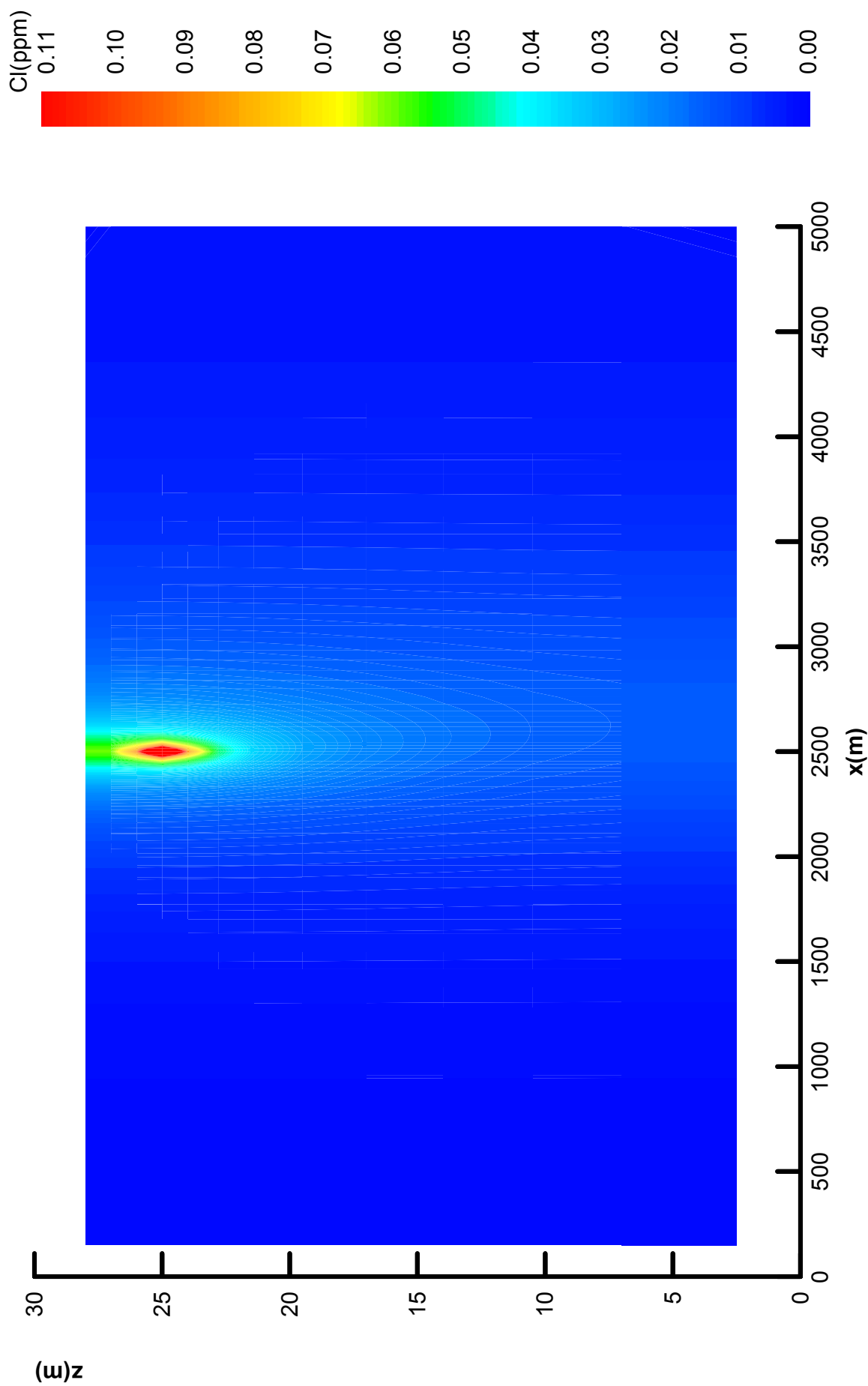


figura 4. 2. 19. Campo di concentrazione di cloro nella sezione longitudinale passante per la immissione, dopo 24 ore. Concentrazione nella cella di immissione: 0.32 ppm

IN PRESENZA DI STRATIFICAZIONE TERMICA INIZIALE

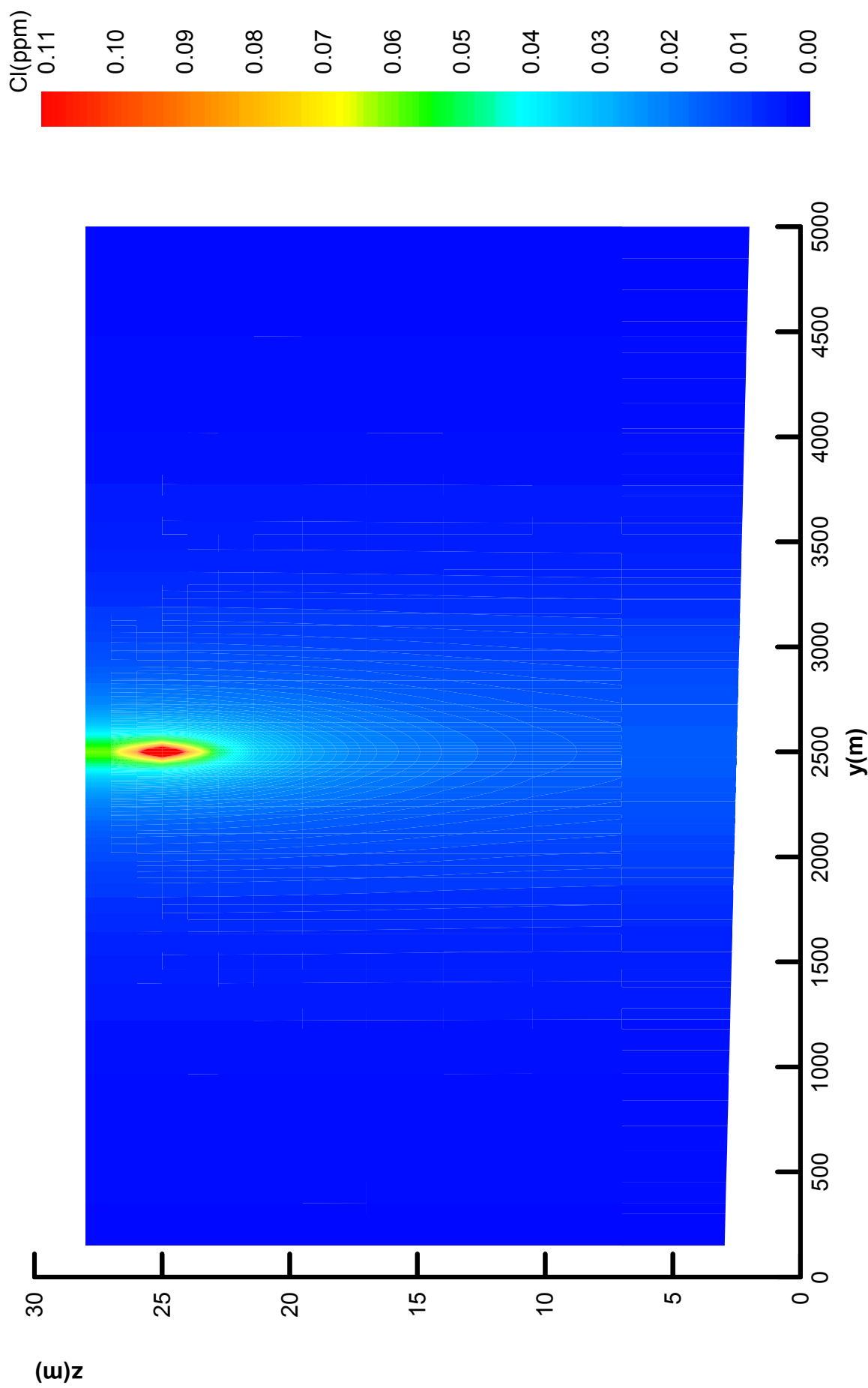


figura 4. 2. 20. Campo di concentrazione di cloro nella sezione trasversale passante per la immissione, dopo 24 ore. Concentrazione nella cella di immissione: 0.32 ppm

IN PRESENZA DI STRATIFICAZIONE TERMICA INIZIALE

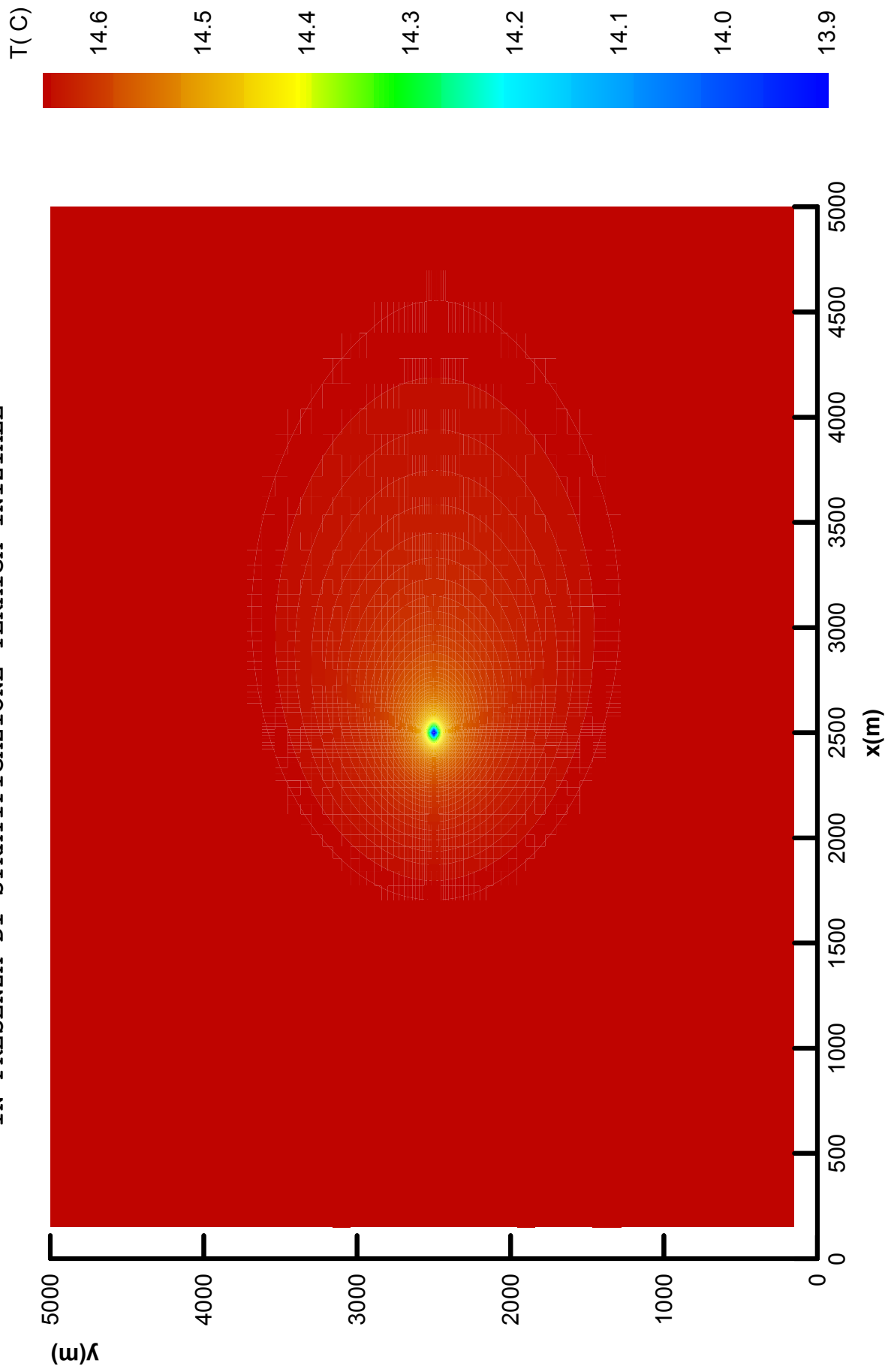


figura 4. 2. 21 Campo di temperatura T (C) nella sezione orizzontale passante per la immissione, dopo 48 ore. Temperatura nella cella di immissione: 13,2 C

IN PRESENZA DI STRATIFICAZIONE TERMICA INIZIALE

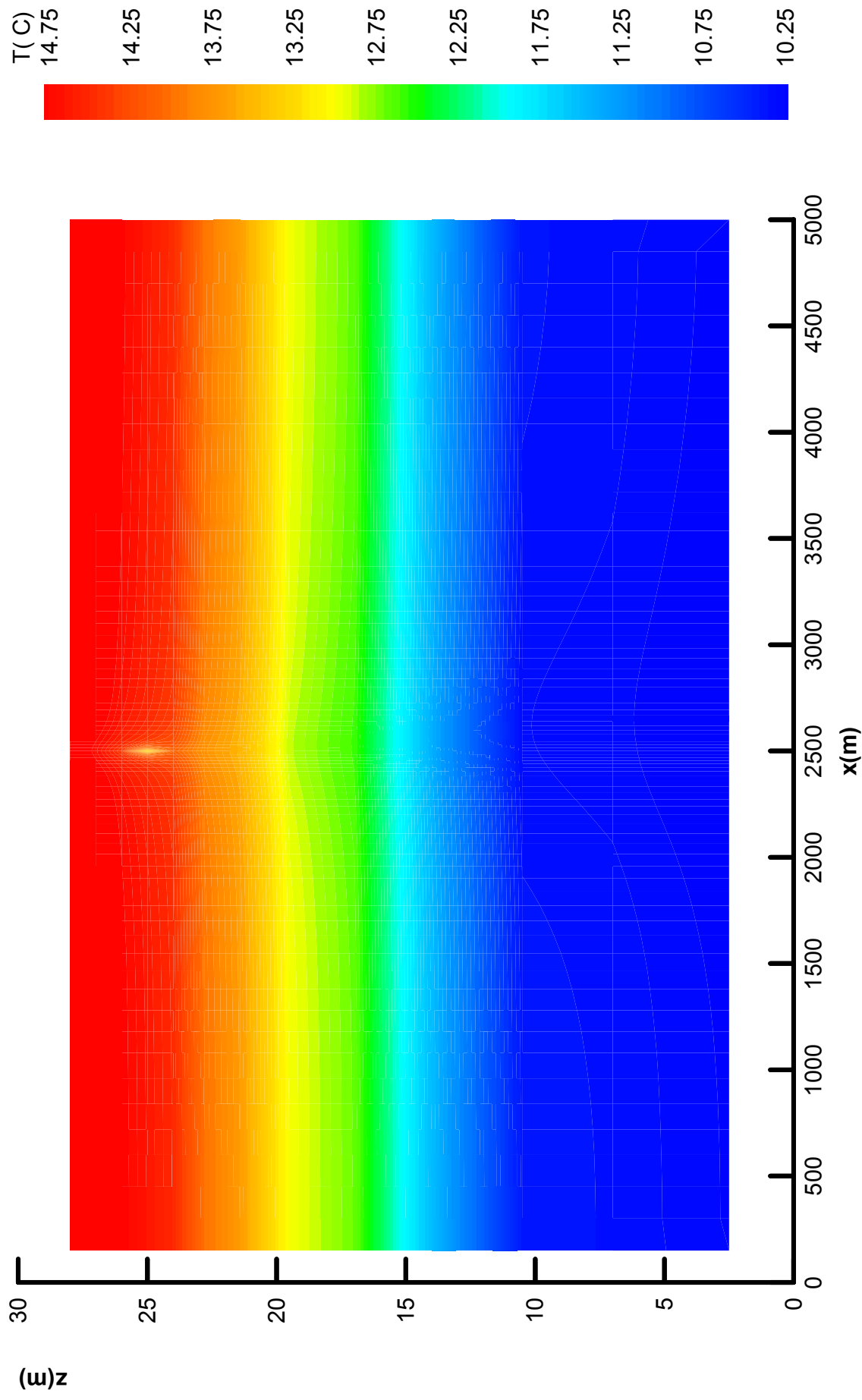


figura 4. 2. 22 Campo di temperatura $T(C)$ nella sezione longitudinale passante per la immissione, dopo 48 ore. Temperatura nella cella di immissione: 13,2 C

Per evidenziare la stratificazione termica verticale e' stata utilizzata una scala di valori della temperatura differente dalla scala di figura 4.2.21

IN PRESENZA DI STRATIFICAZIONE TERMICA INIZIALE

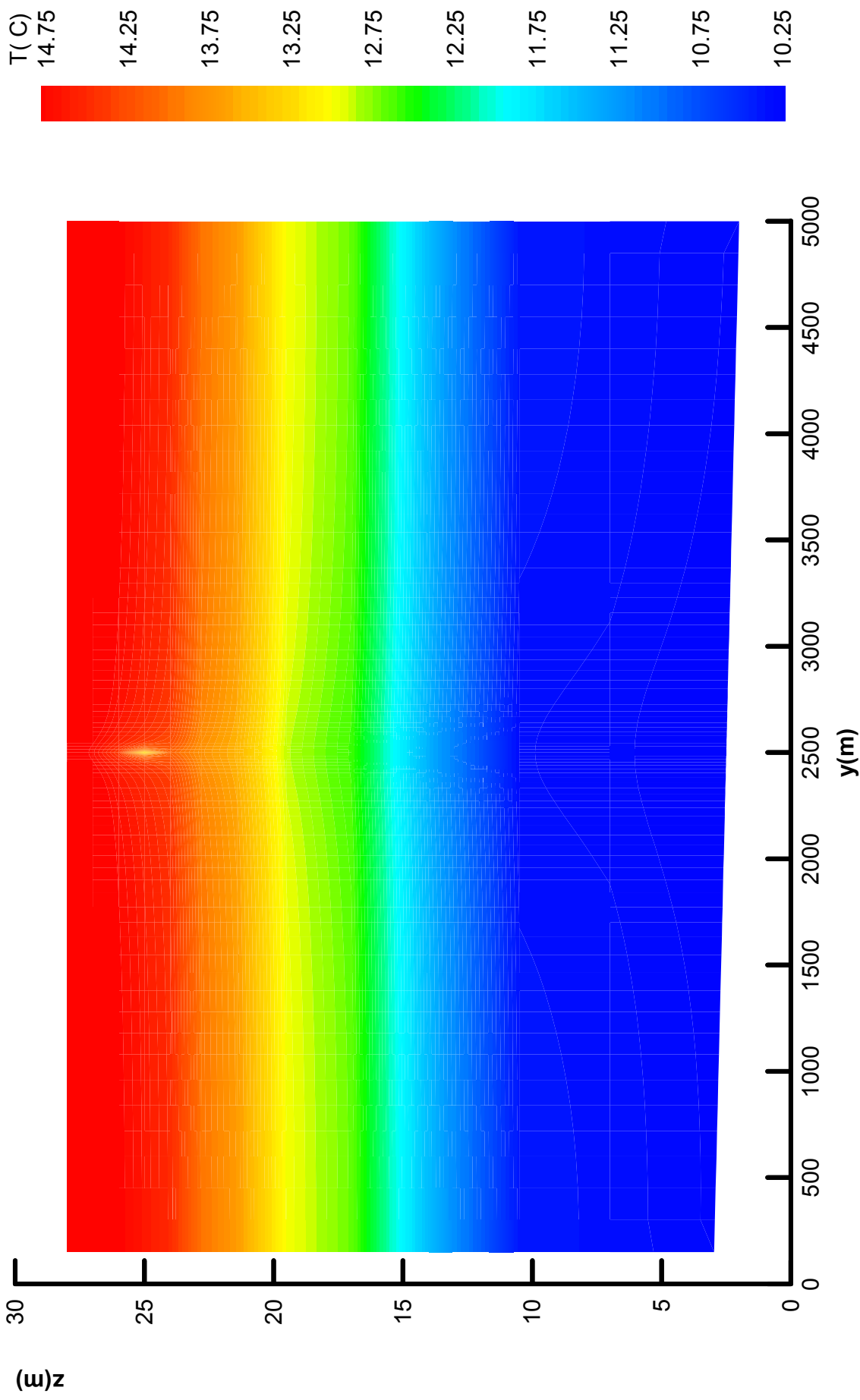


figura 4. 2. 23 Campo di temperatura $T(C)$ nella sezione trasversale passante per la immissione, dopo 48 ore. Temperatura nella cella di immissione: 13,2 C

Per evidenziare la stratificazione termica verticale e' stata utilizzata una scala di valori della temperatura differente dalla scala di figura 4.2.21

IN PRESENZA DI STRATIFICAZIONE TERMICA INIZIALE

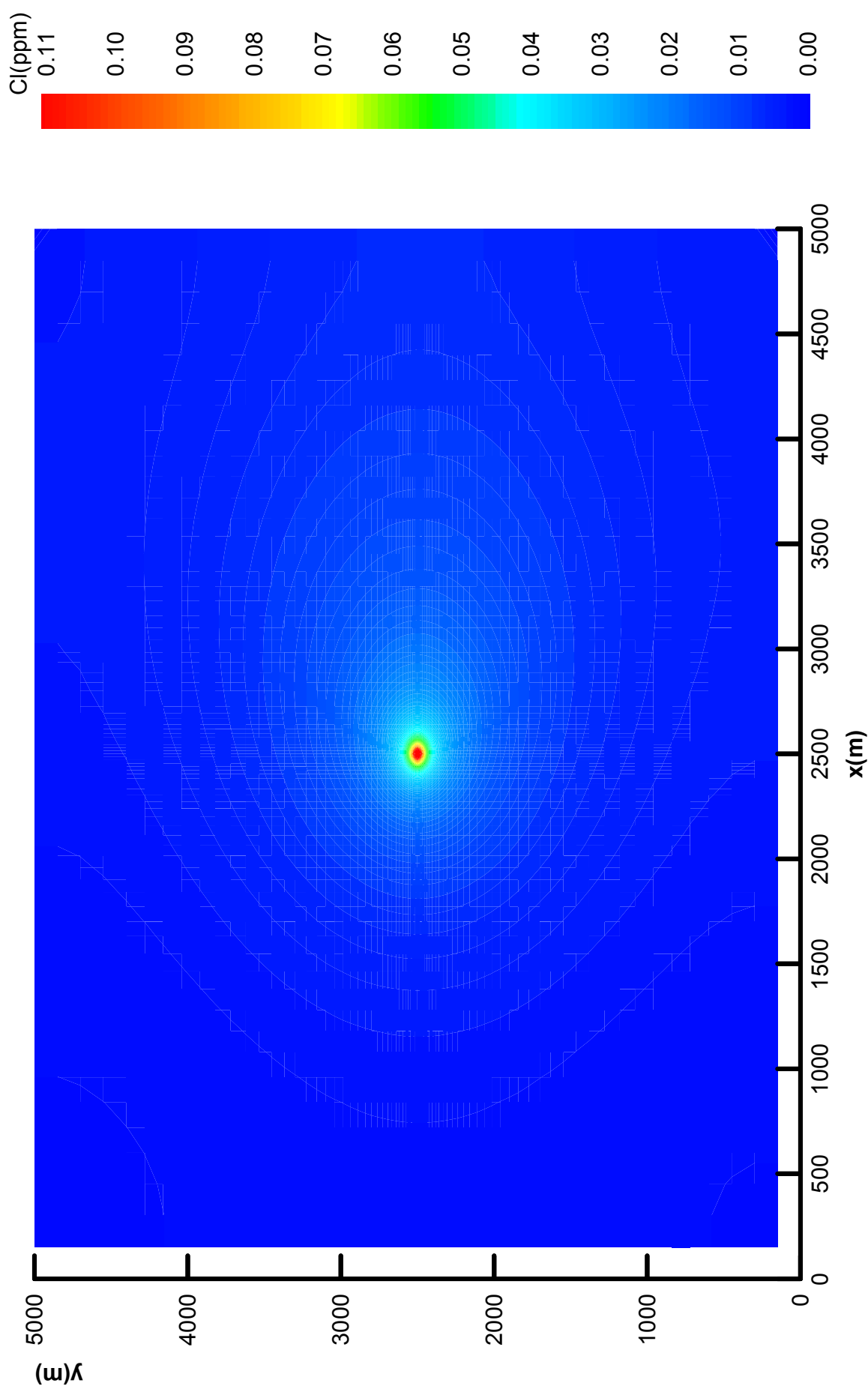


figura 4. 2. 24. Campo di concentrazione di cloro nella sezione orizzontale passante per la immissione, dopo 48 ore. Concentrazione nella cella di immissione: 0.32 ppm

IN PRESENZA DI STRATIFICAZIONE TERMICA INIZIALE

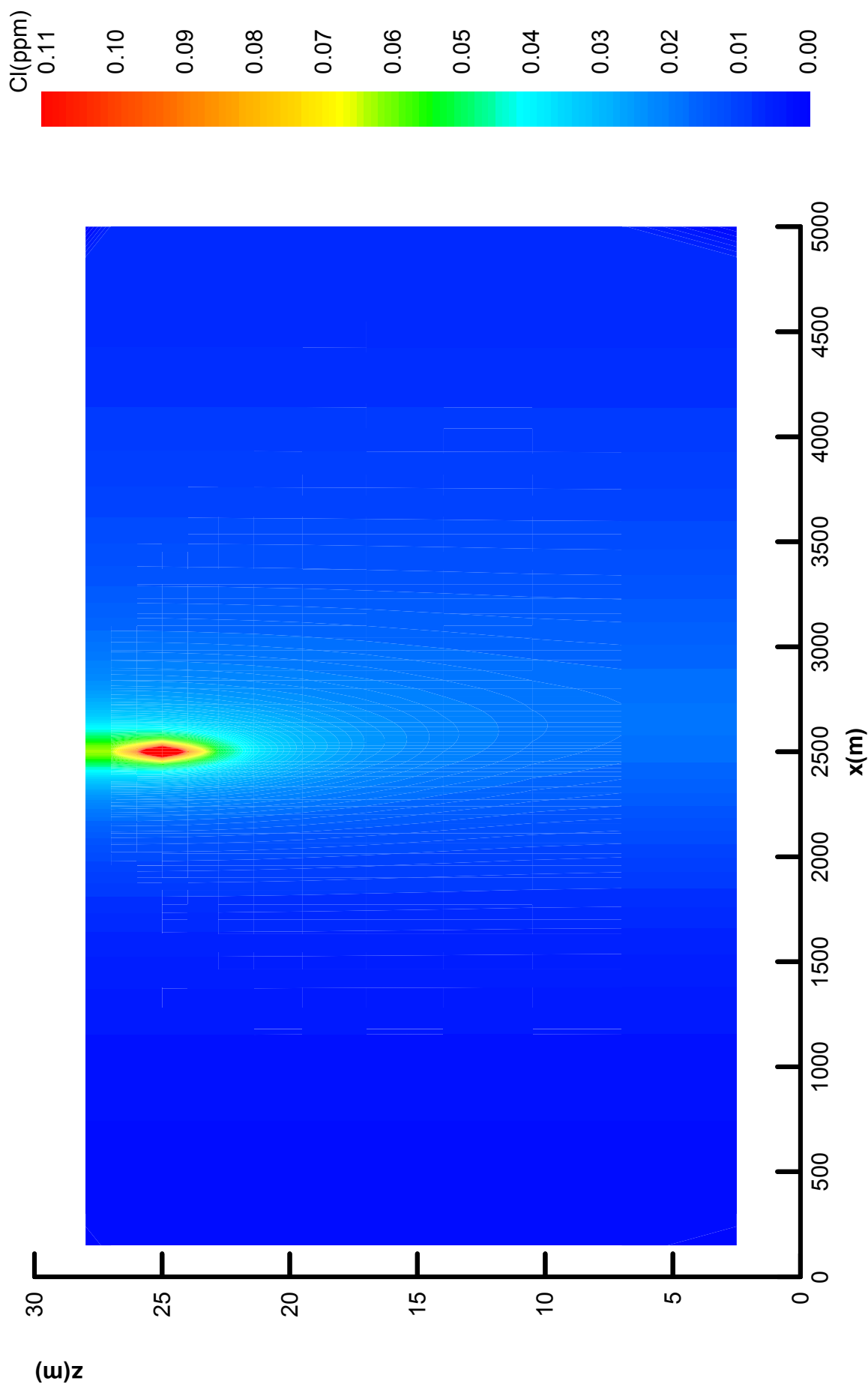


figura 4. 2. 25. Campo di concentrazione di cloro nella sezione longitudinale passante per la immissione, dopo 48 ore. Concentrazione nella cella di immissione: 0.32 ppm

IN PRESENZA DI STRATIFICAZIONE TERMICA INIZIALE

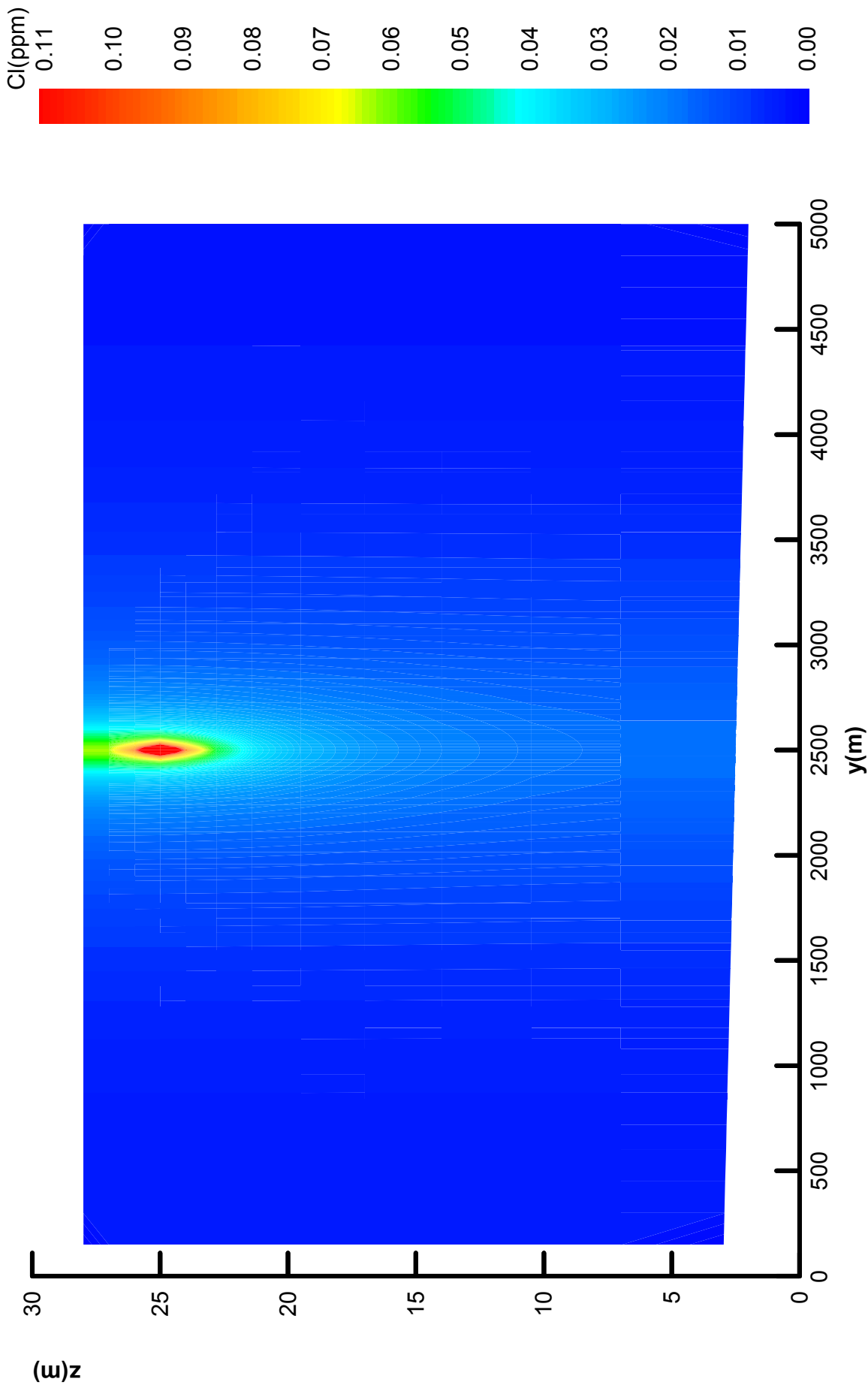


figura 4. 2. 26. Campo di concentrazione di cloro nella sezione trasversale passante per la immissione, dopo 48 ore. Concentrazione nella cella di immissione: 0.32 ppm

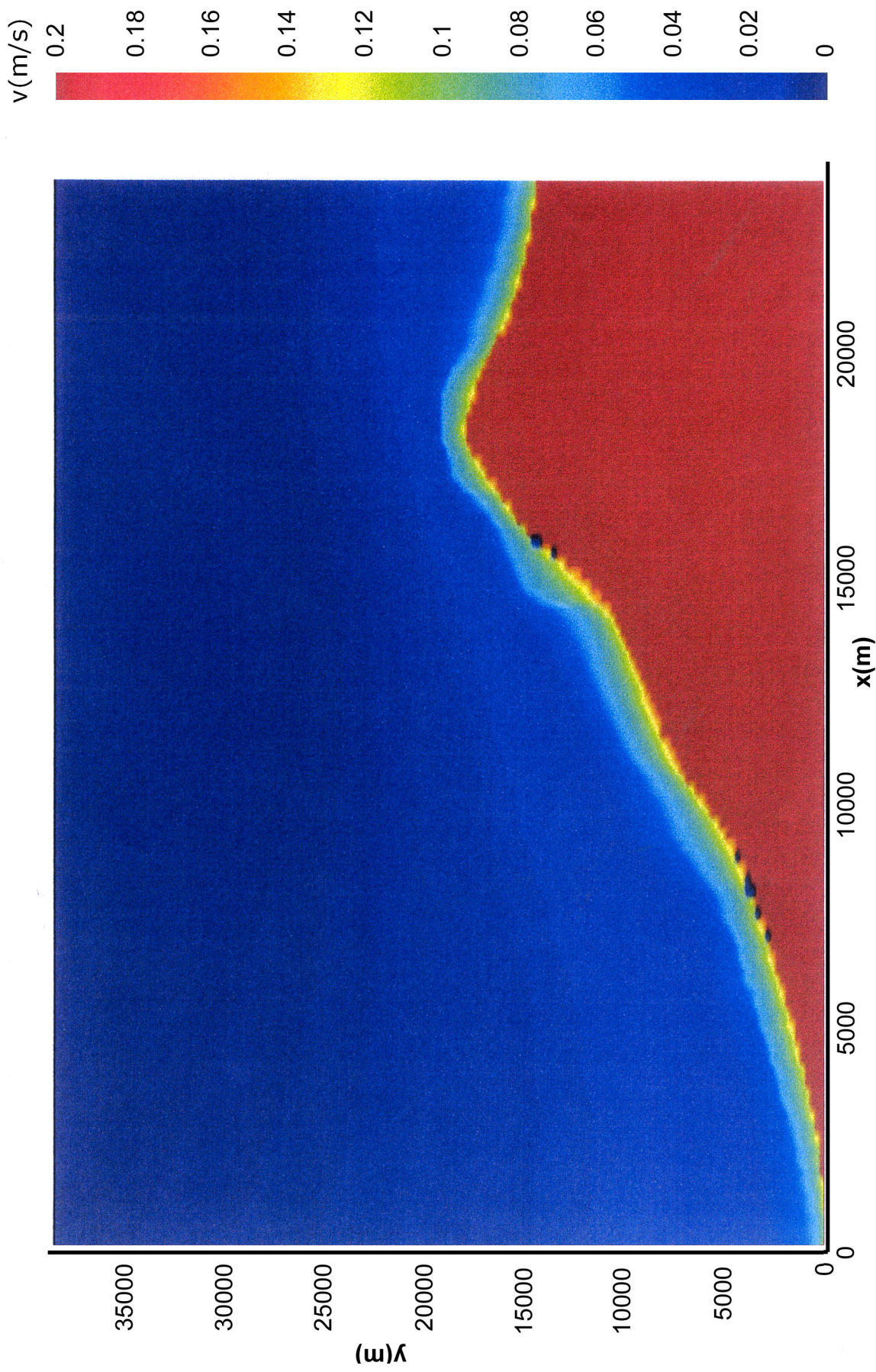


Figura 4.3.1 Campo di velocità di attrito prodotto dal moto ondoso

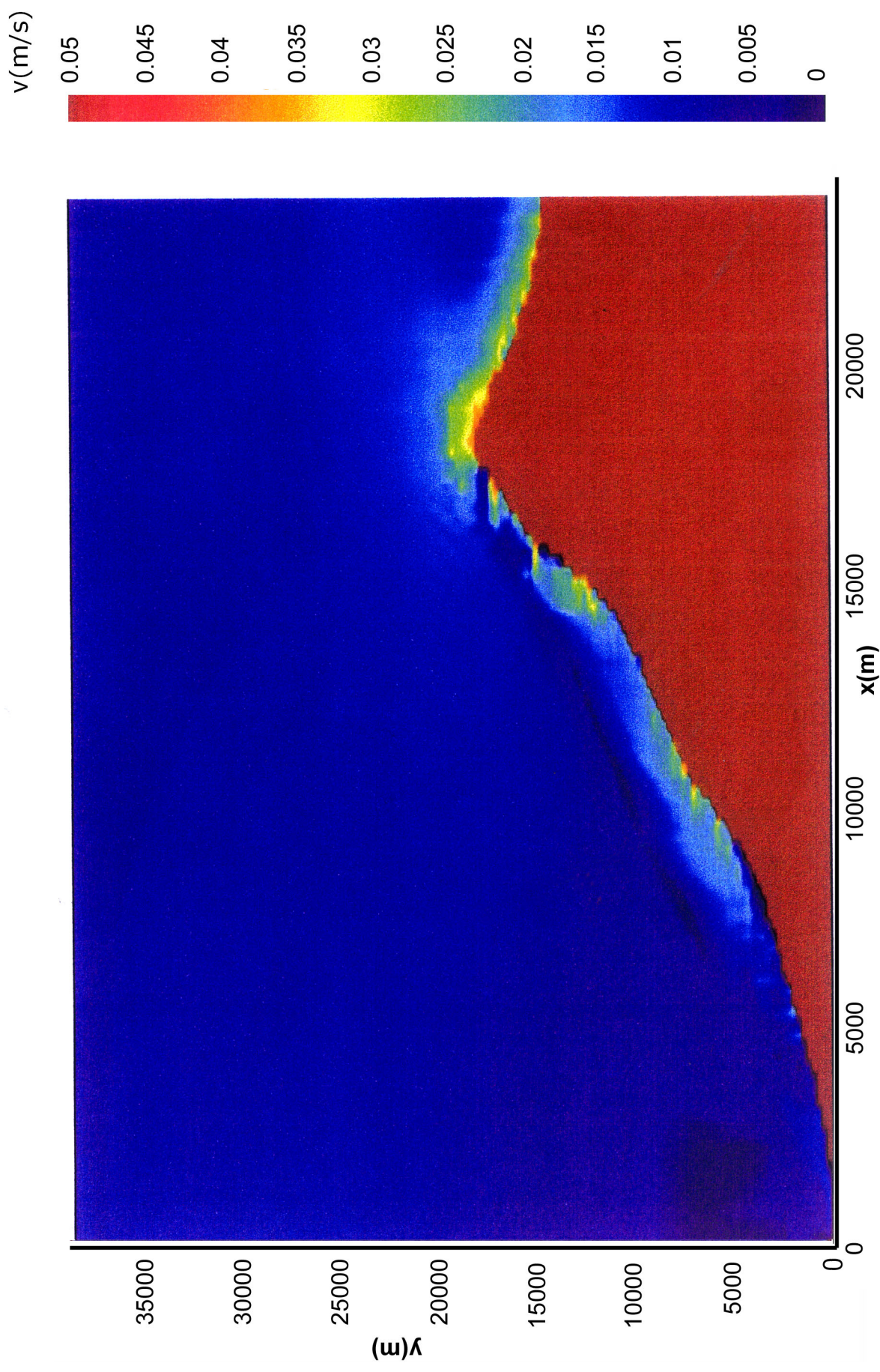


Figura 4.3.2 Campo di velocità di attrito prodotto dalla corrente

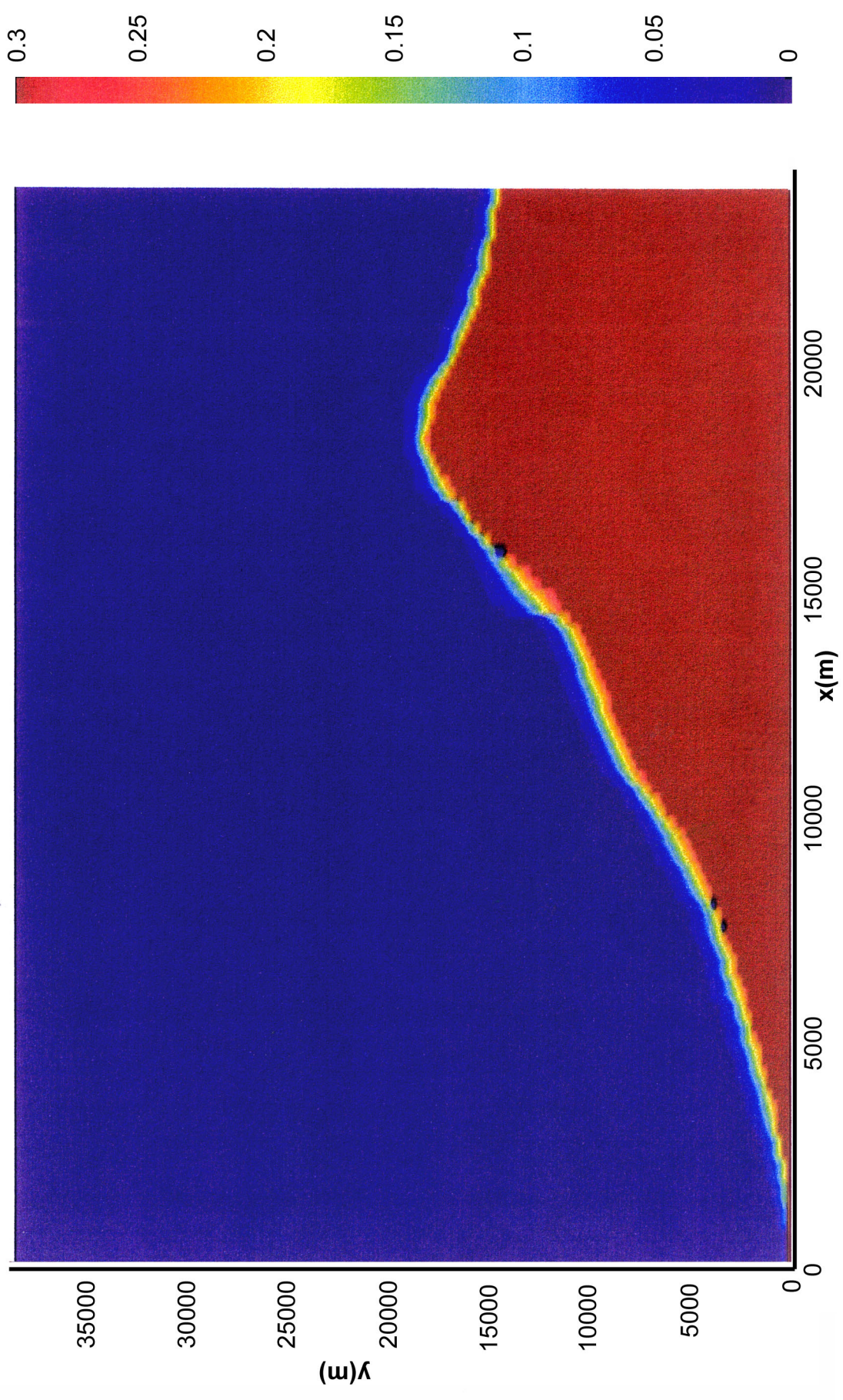


Figura 4.3.3 Campo di concentrazione volumetrica di riferimento al fondo

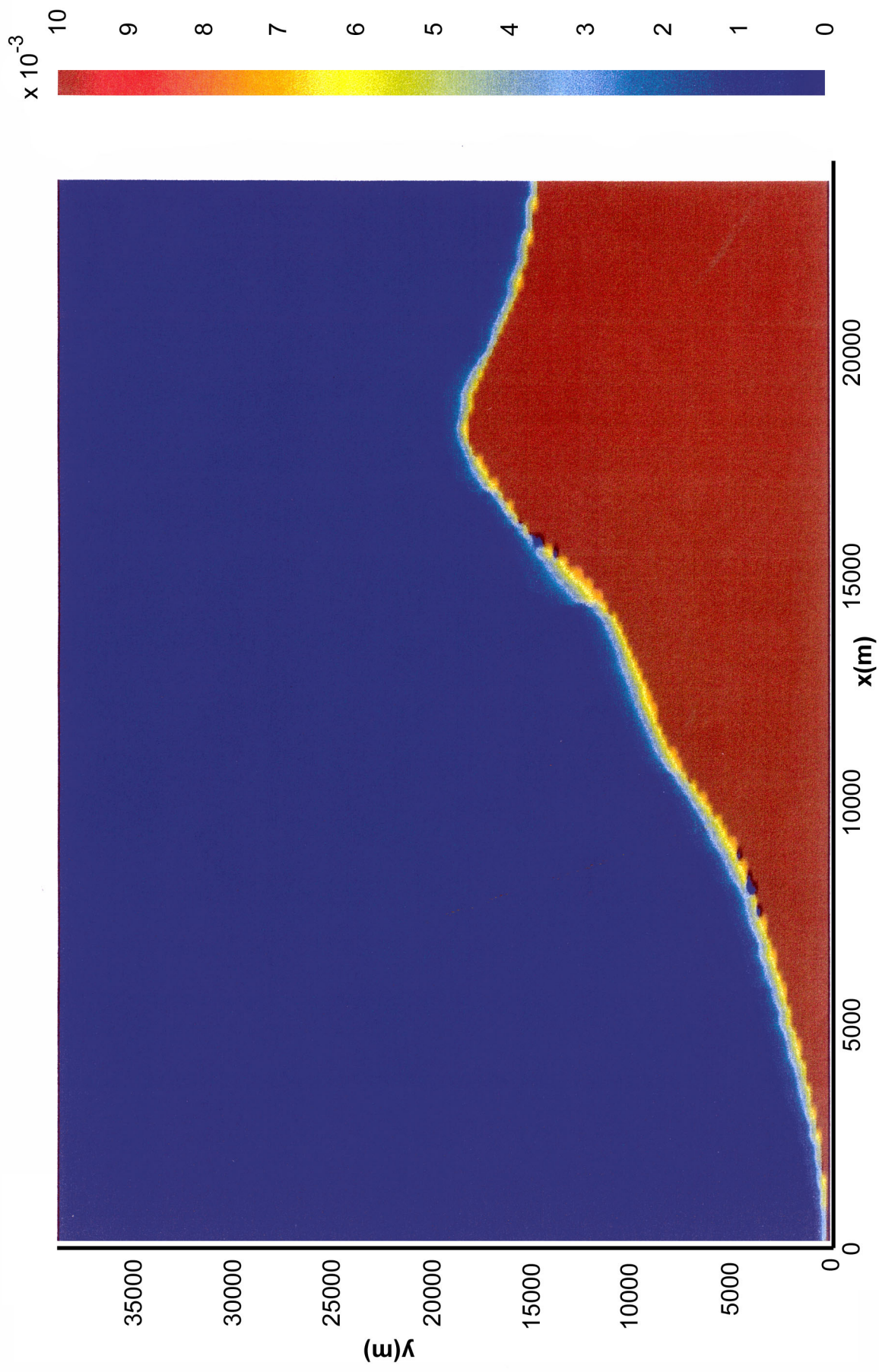


Figura 4.3.4 Campo di concentrazione volumetrica di solidi sospesi in condizioni di equilibrio